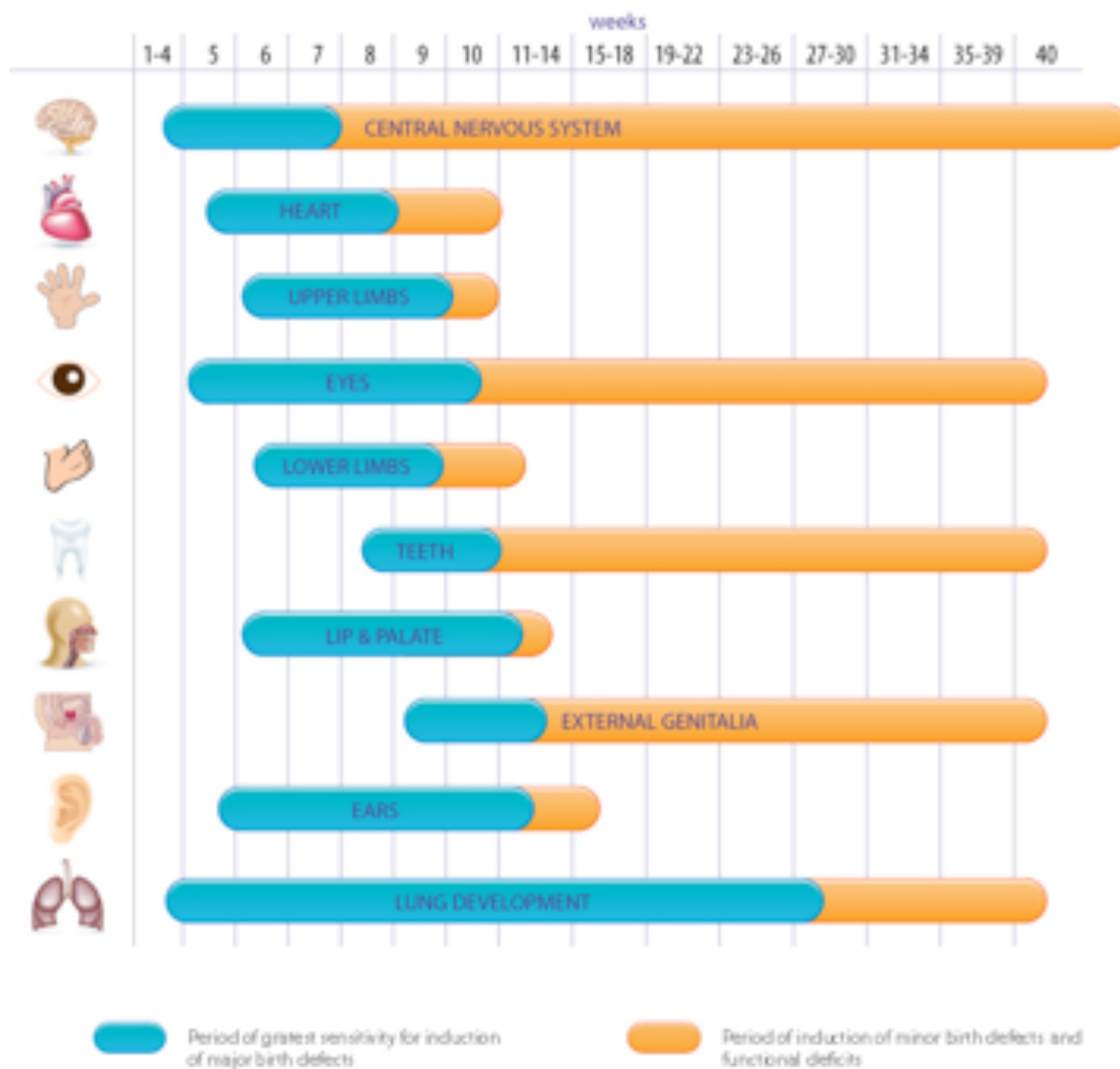
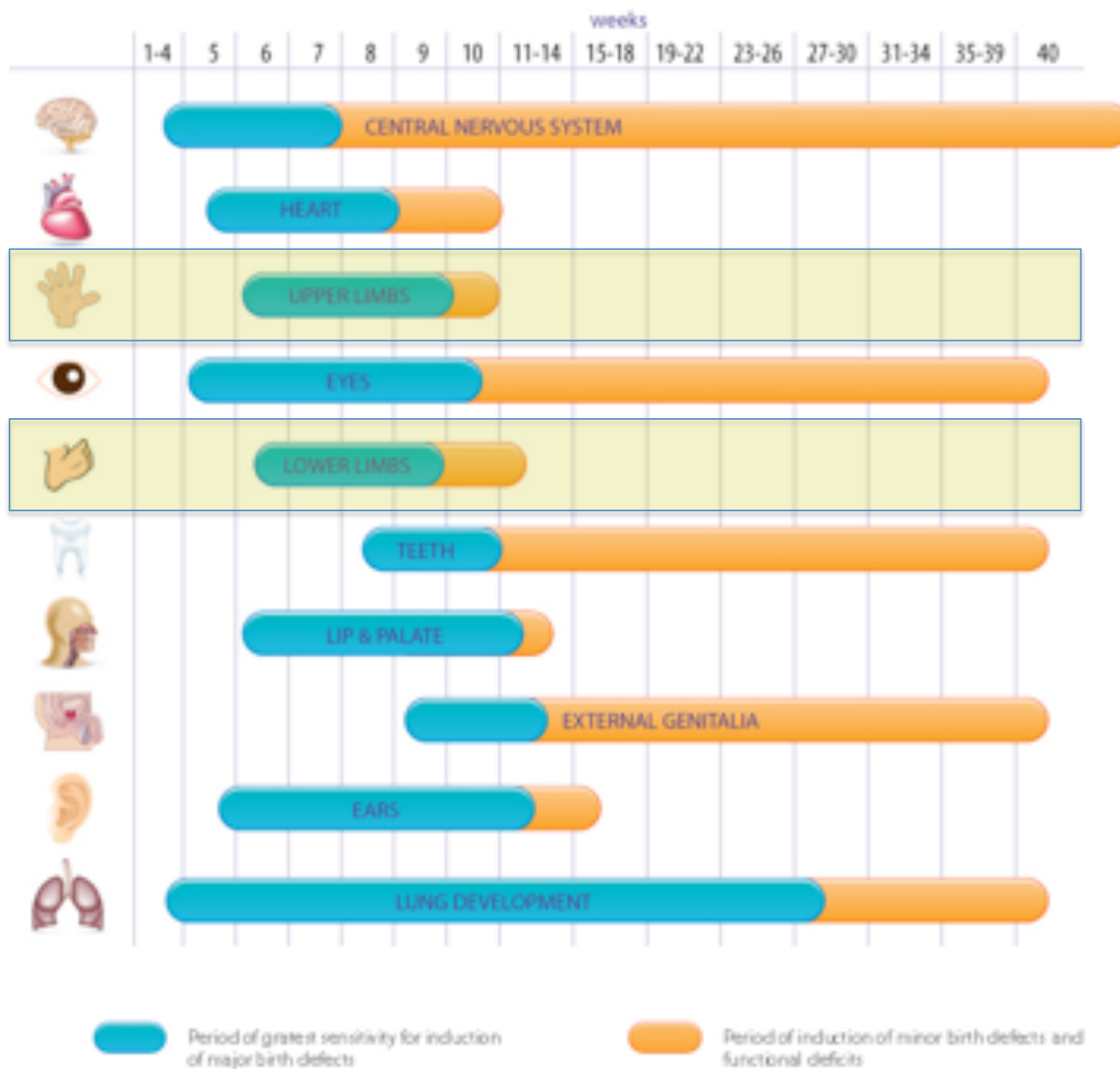


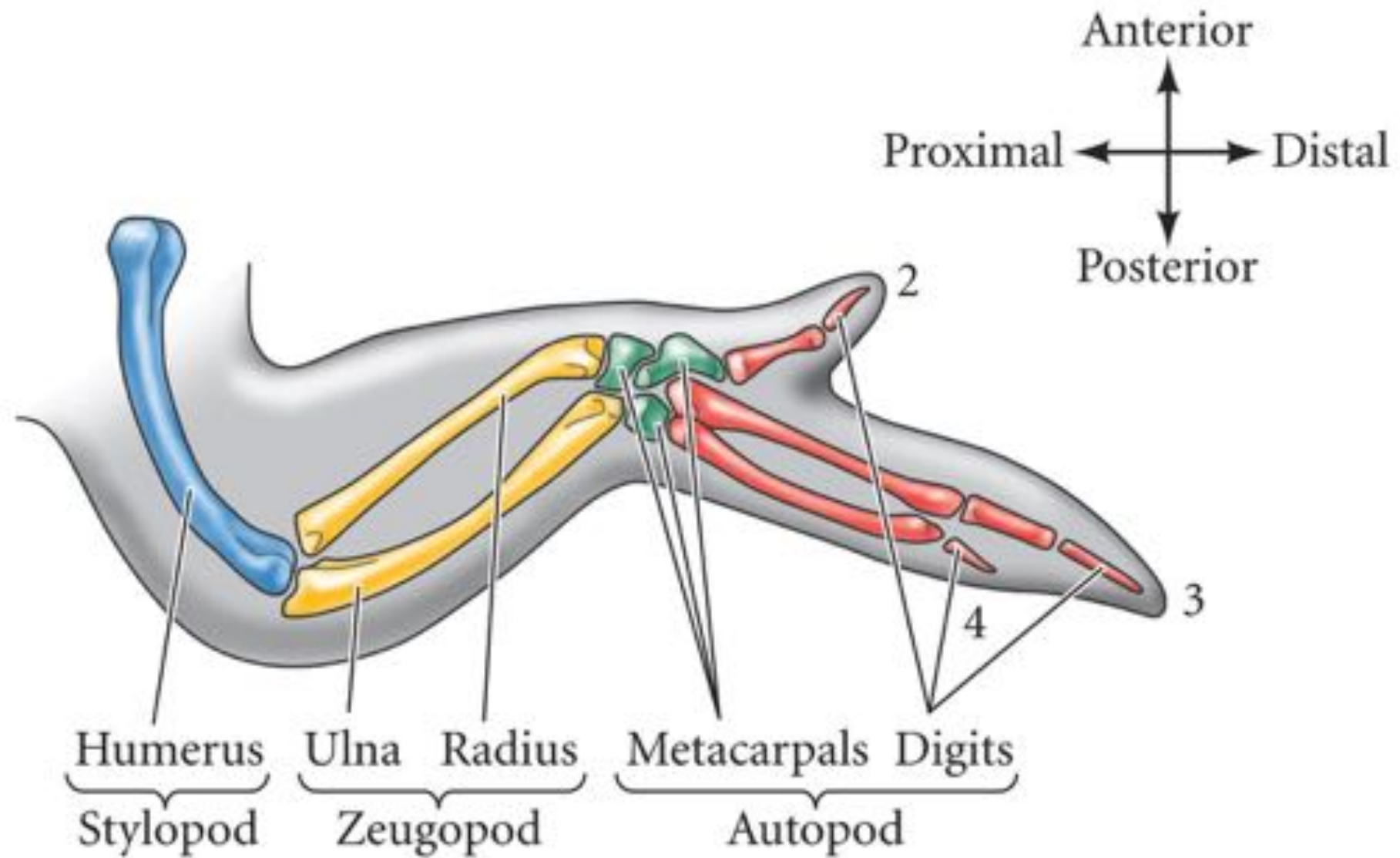
ORGANOGENESE:

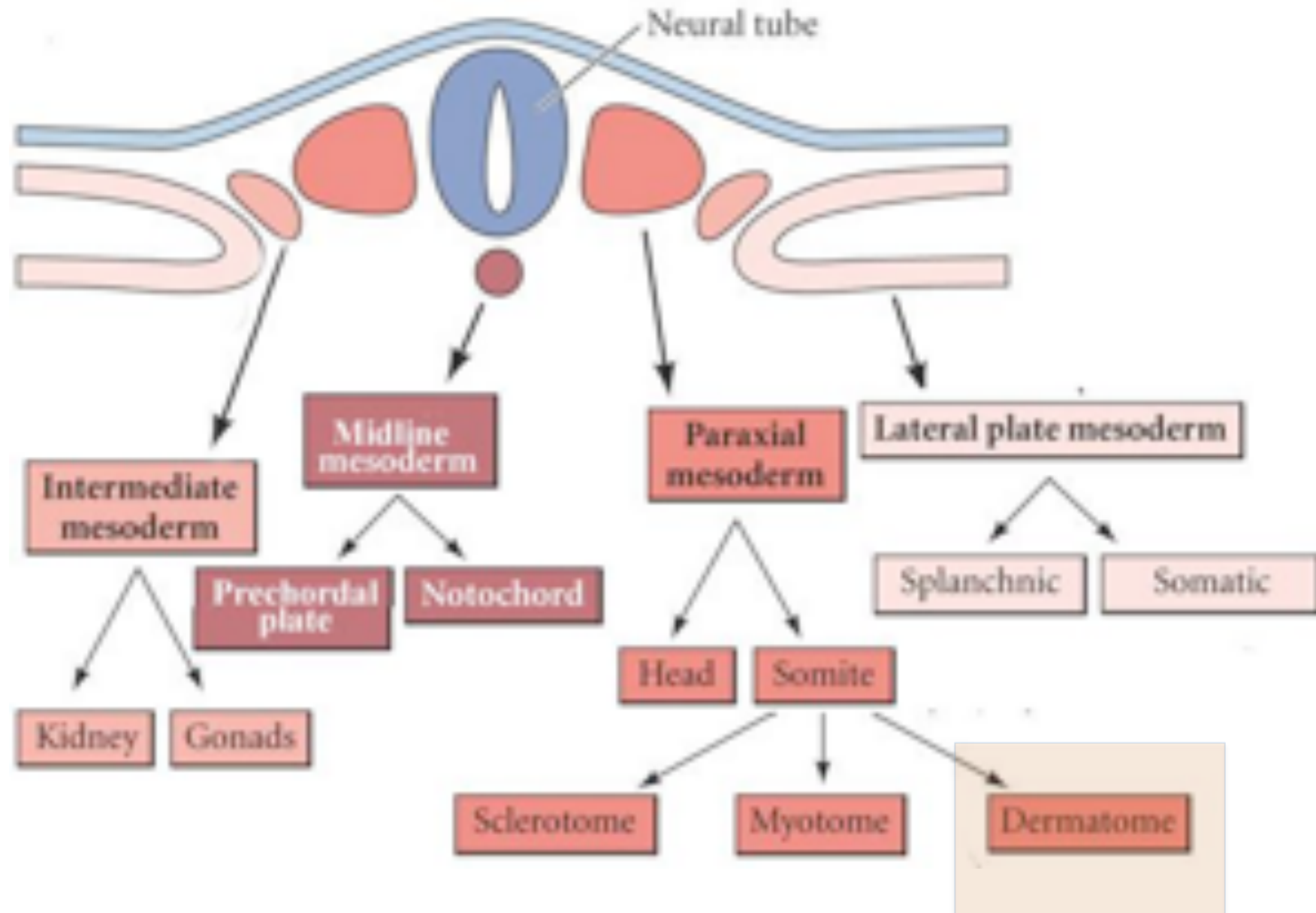


ORGANOGENESE:

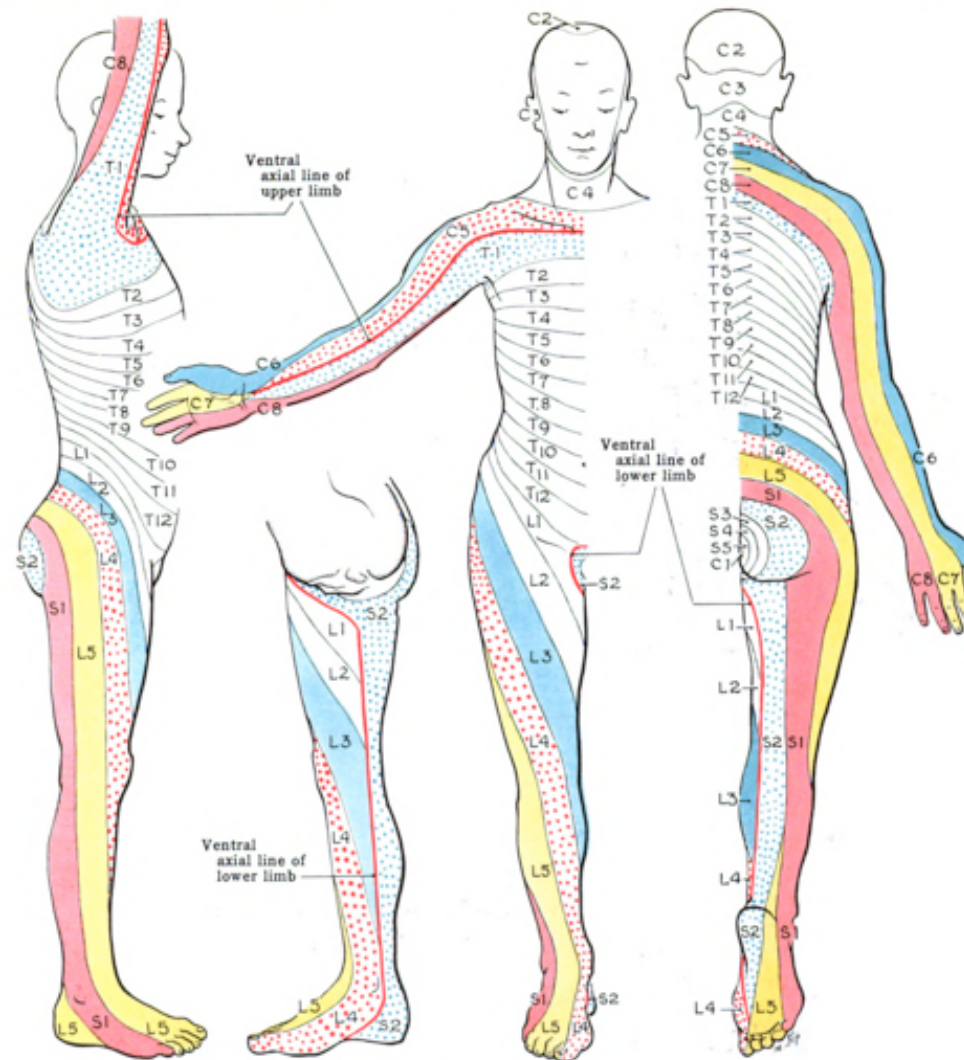


Padrão do membro anterior da galinha (eixos do membro)



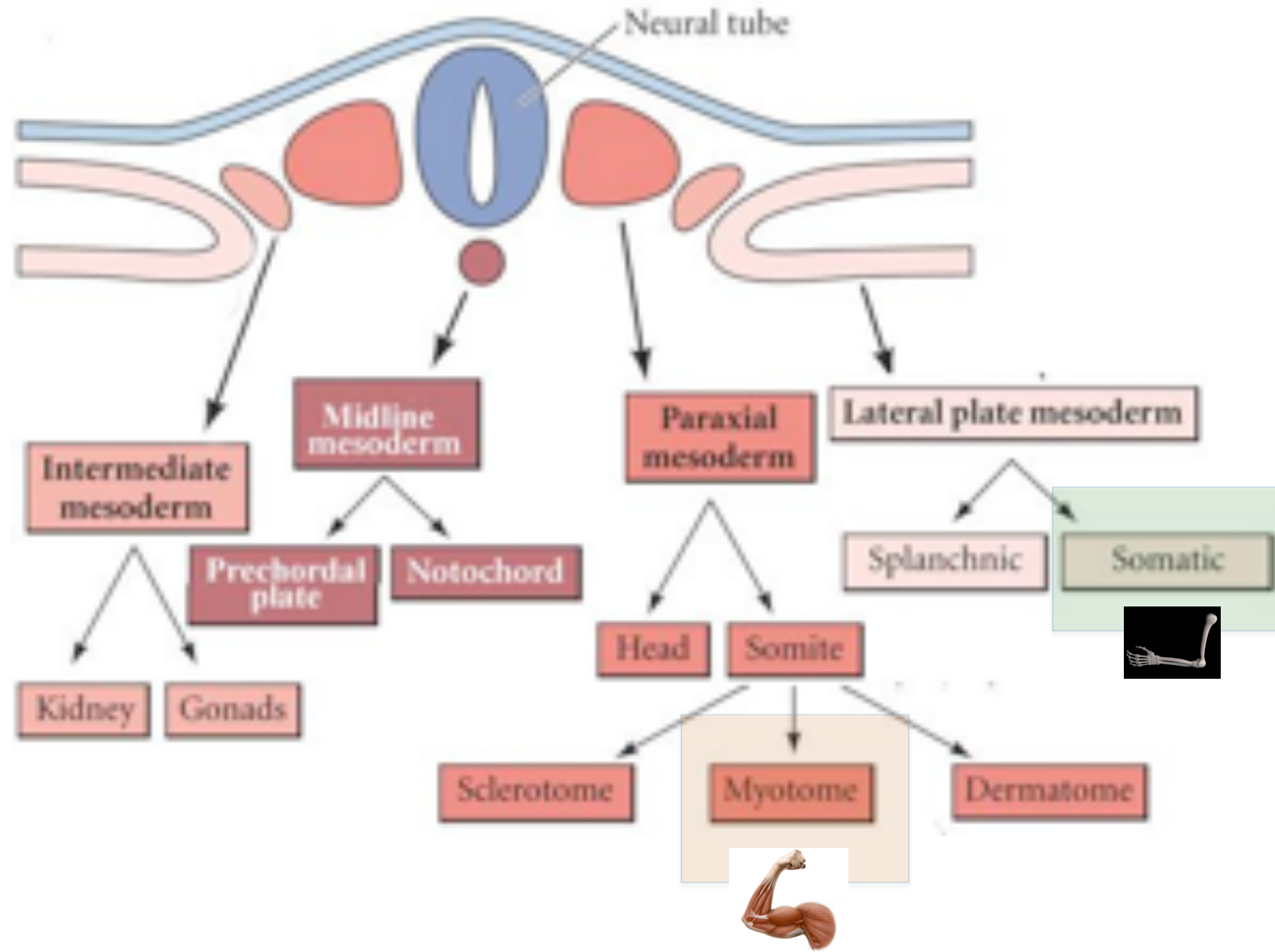


Dermatomas:



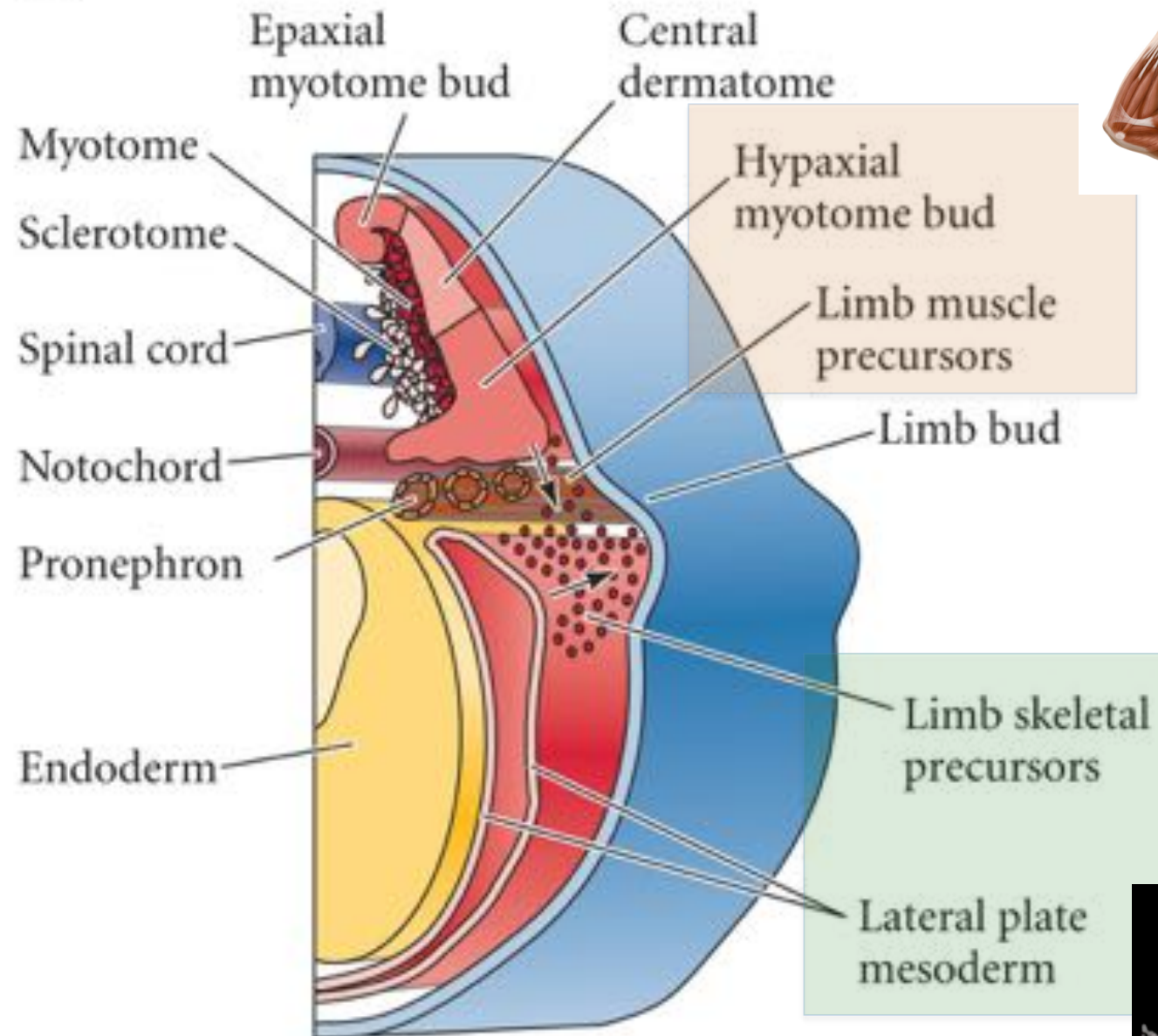
<http://www.youtube.com/watch?v=VpbdqGJ9LWk>

Derivativos do mesodermo e precursores dos brotos de membro



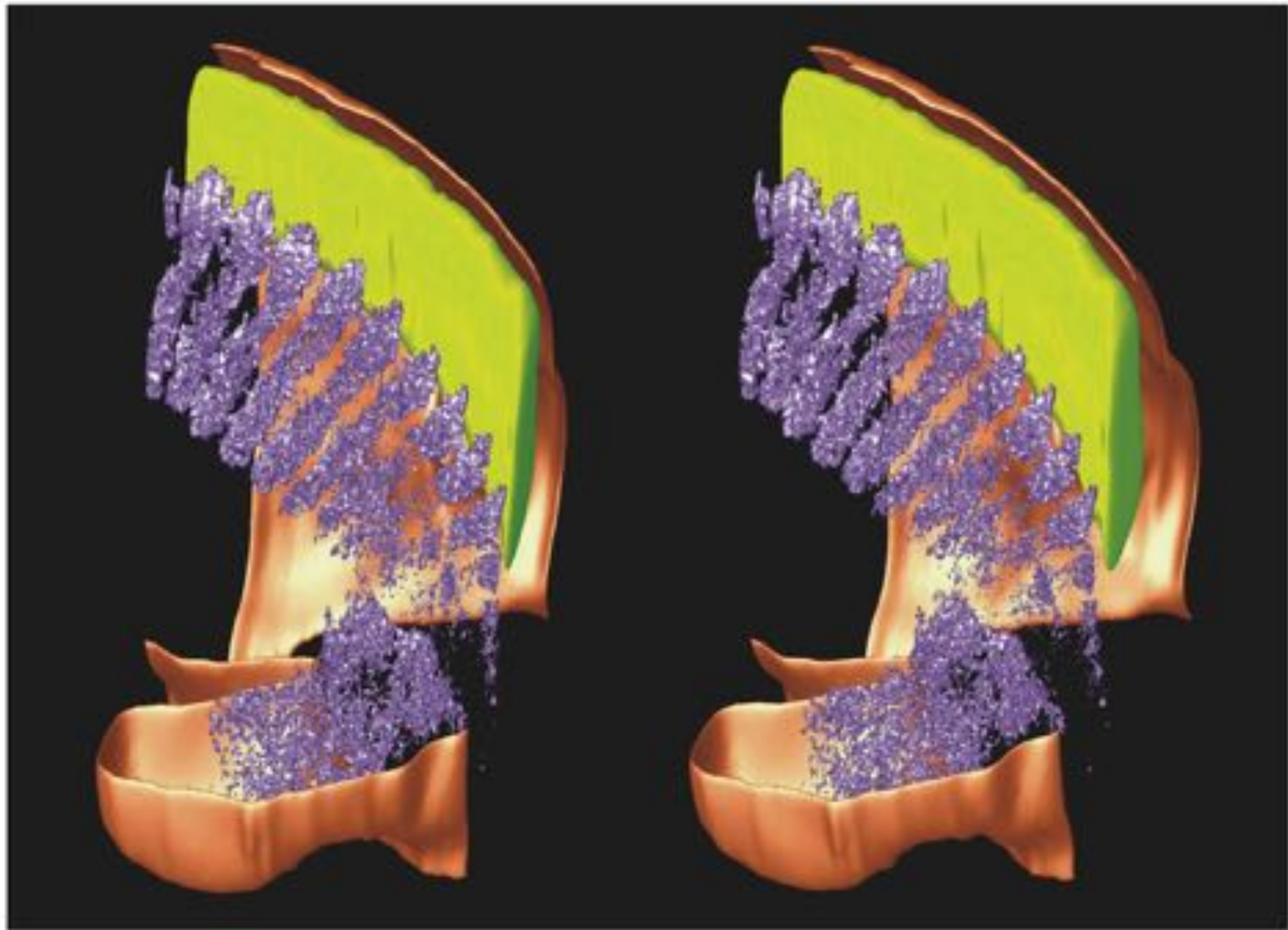
Proliferação de c. mesenquimais da região somática da mesoderme da placa lateral (esqueleto) e do miotoma hipaxial (músculo) geram uma protuberância para fora no broto de membro de anfíbios

(A)

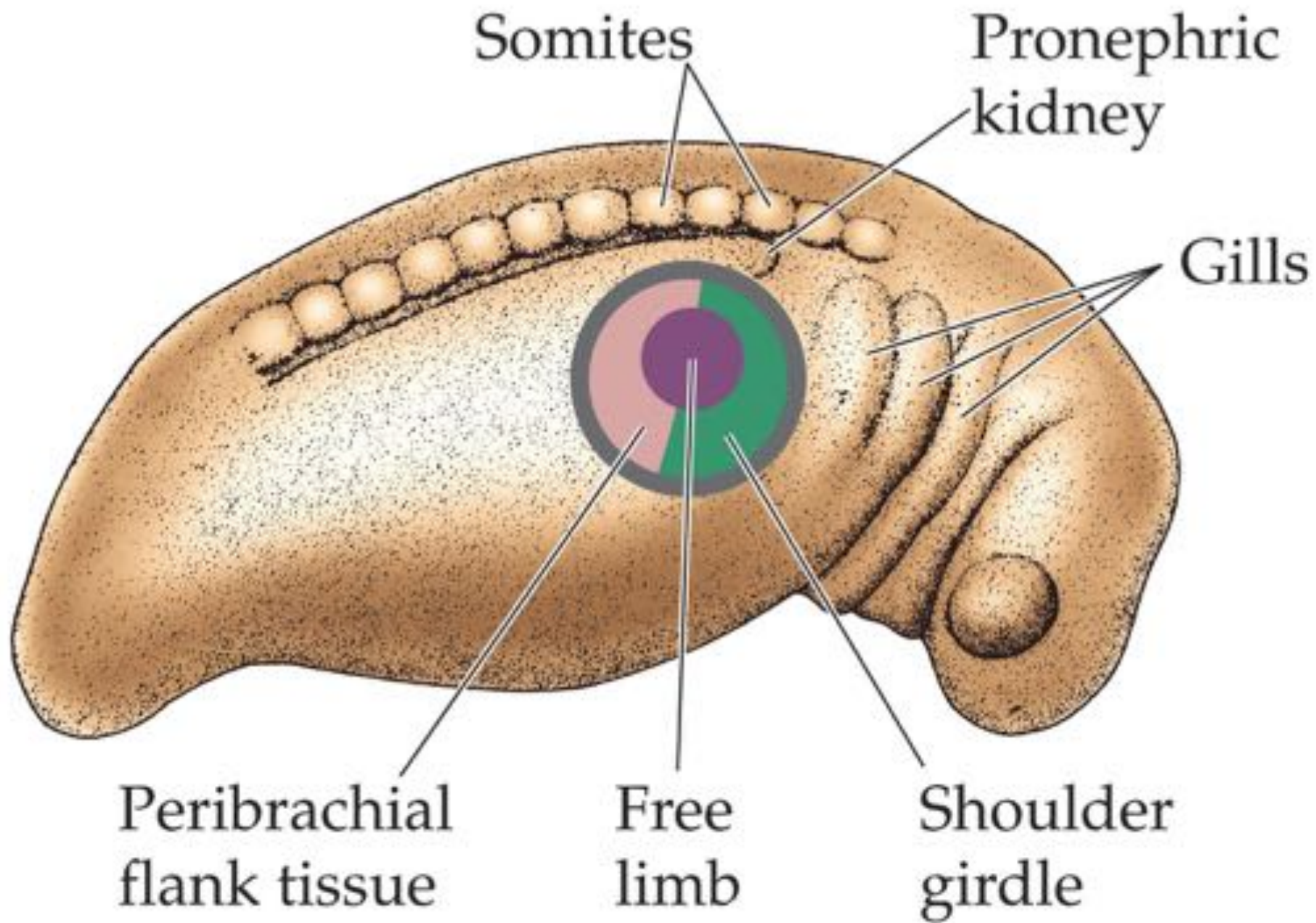


Proliferation of mesenchymal cells from the somatic region of the lateral plate mesoderm (skeleton) and the hypaxial myotome (muscle) causes the limb bud in the amphibian embryo to bulge outward

(B)



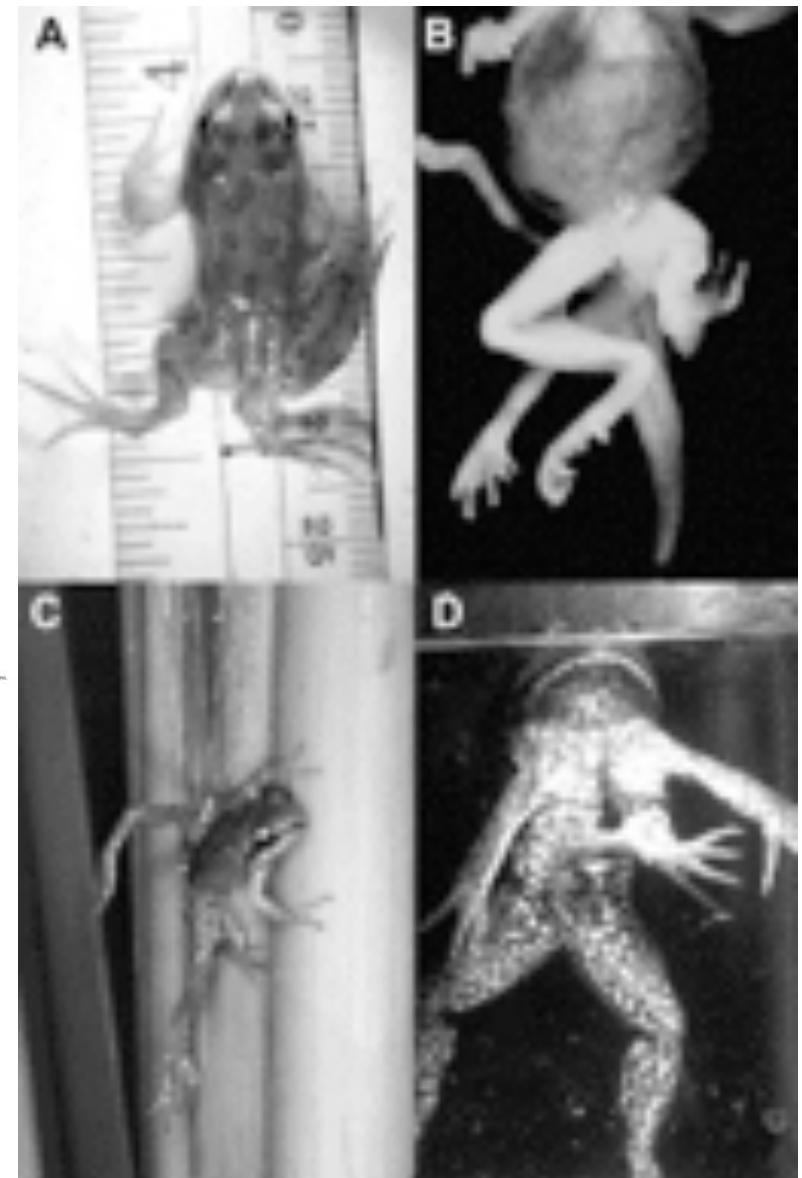
myf5 (developing muscle) cells in purple



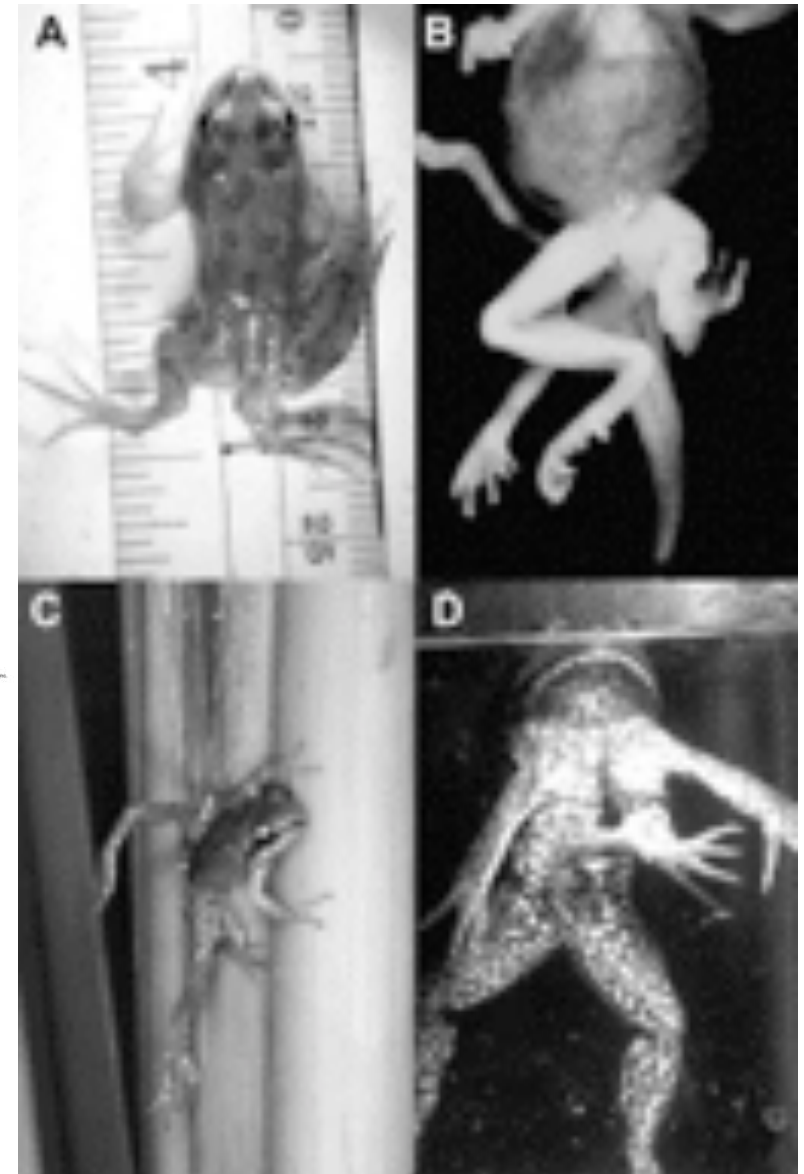
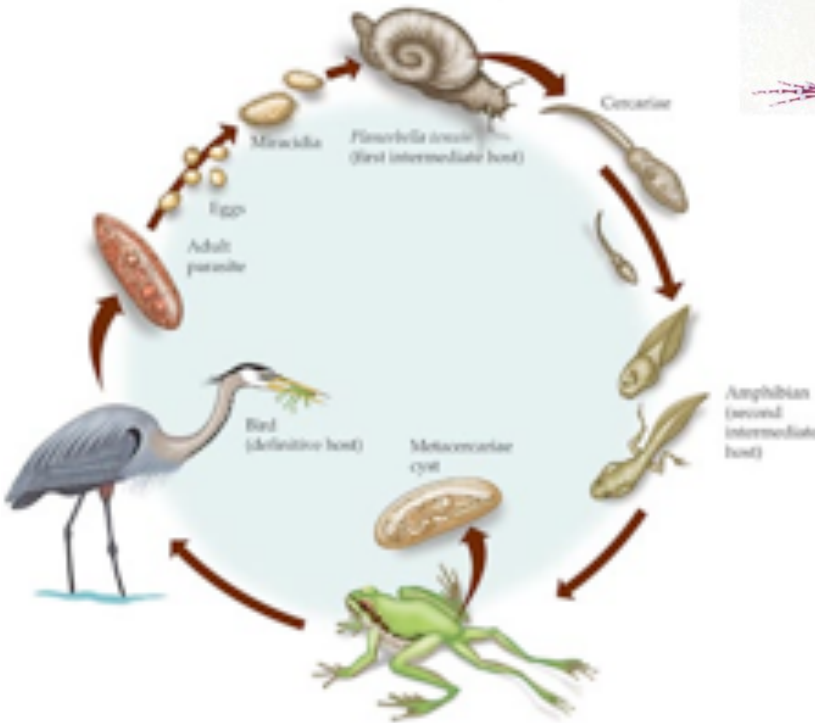
A natureza regulativa do campo do membro:
Uma *Hyla regilla* e outros sapos com multiplos membros são resultado de ????



?



RESPOSTA: Multiplos membros em sapos são resultado de uma infestação de cistos de tremátodos durante o desenvolvimento dos broto de membro nos girinos



Highlight work by John Saunders (Vade Mecum 3)

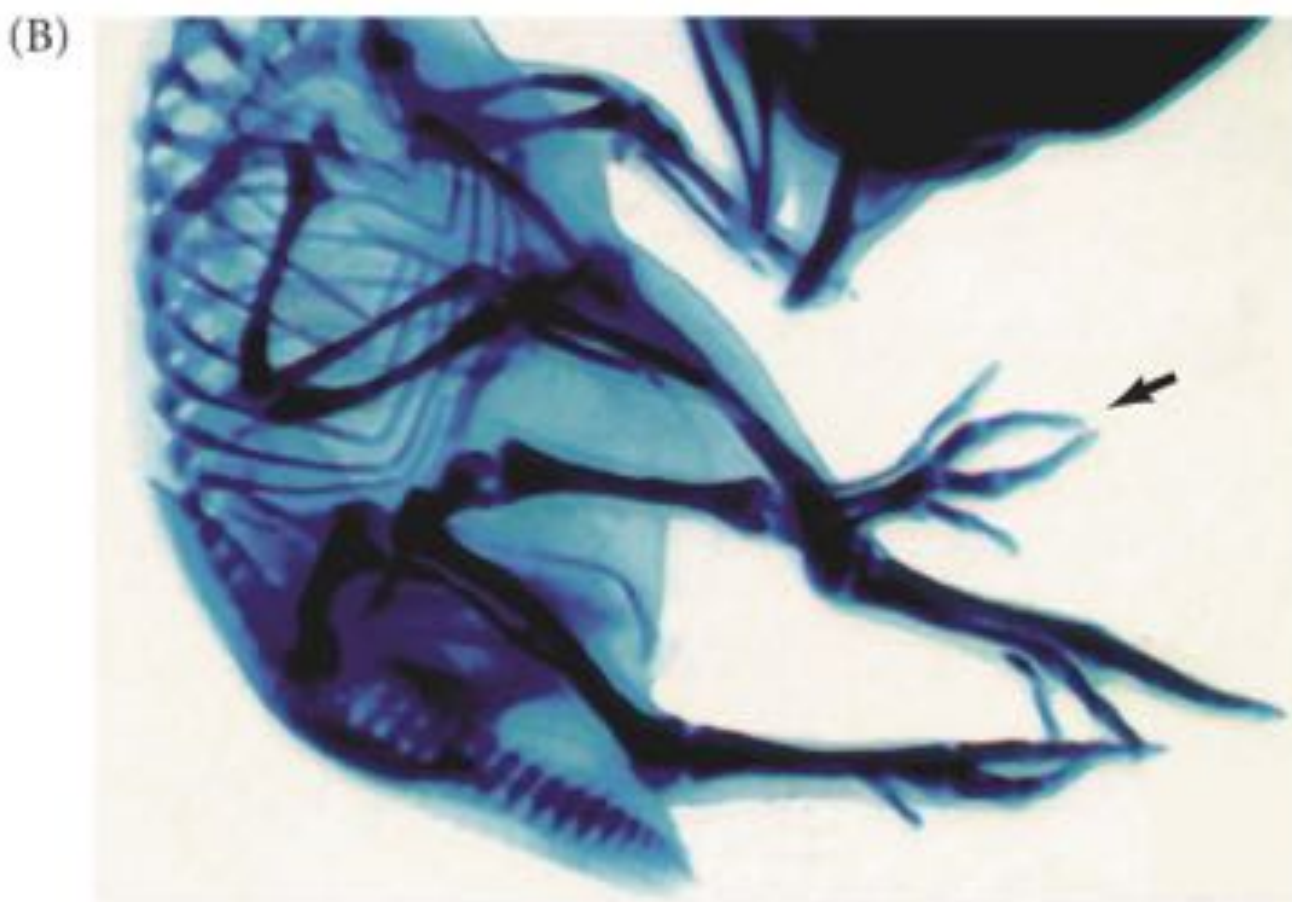


Dr. Saunders' Physiology Lab at Marquette in the early 1950's. Dr. Saunders is in the middle with the pipe.

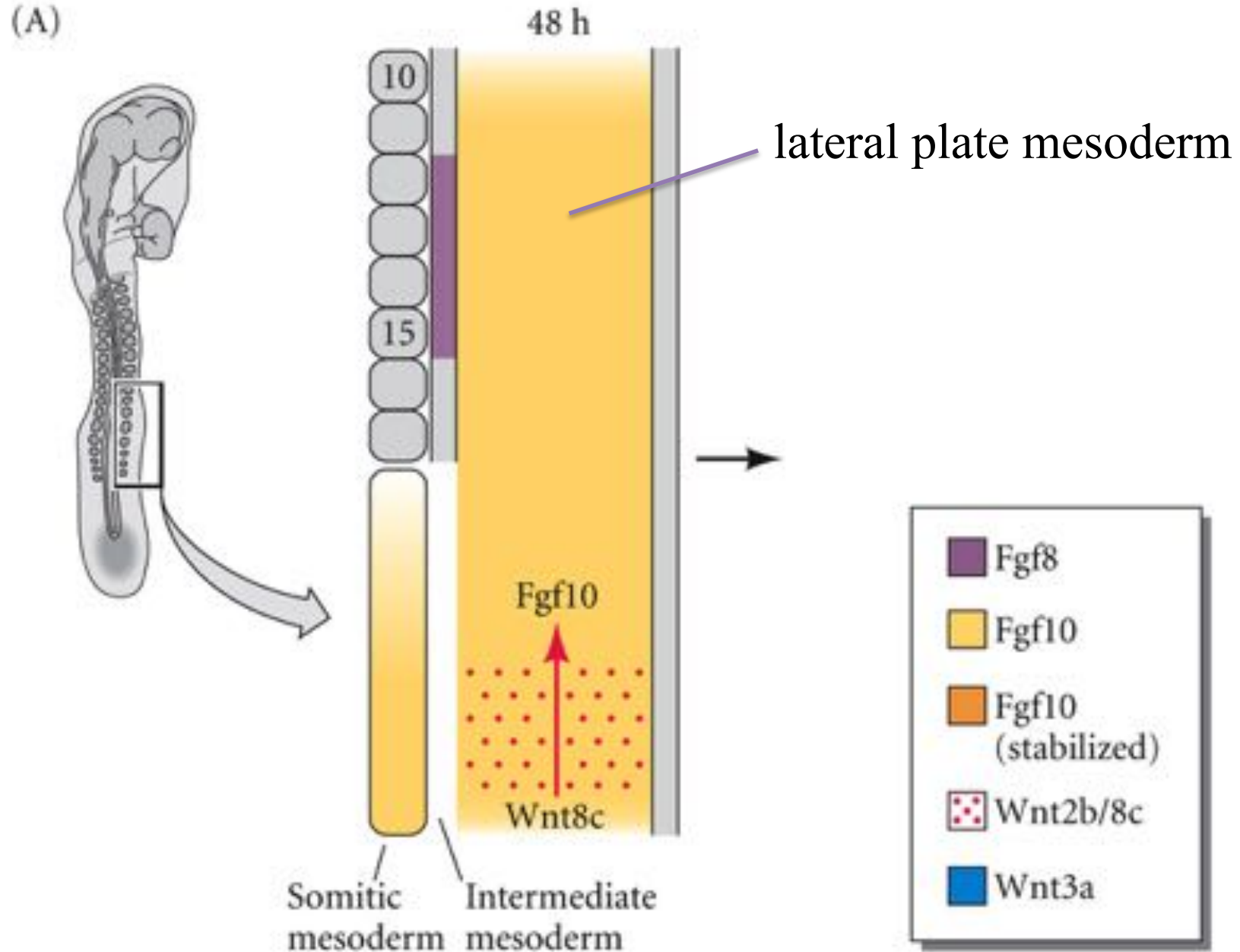


Dr. John saunders at Marquette University in the 1960's.

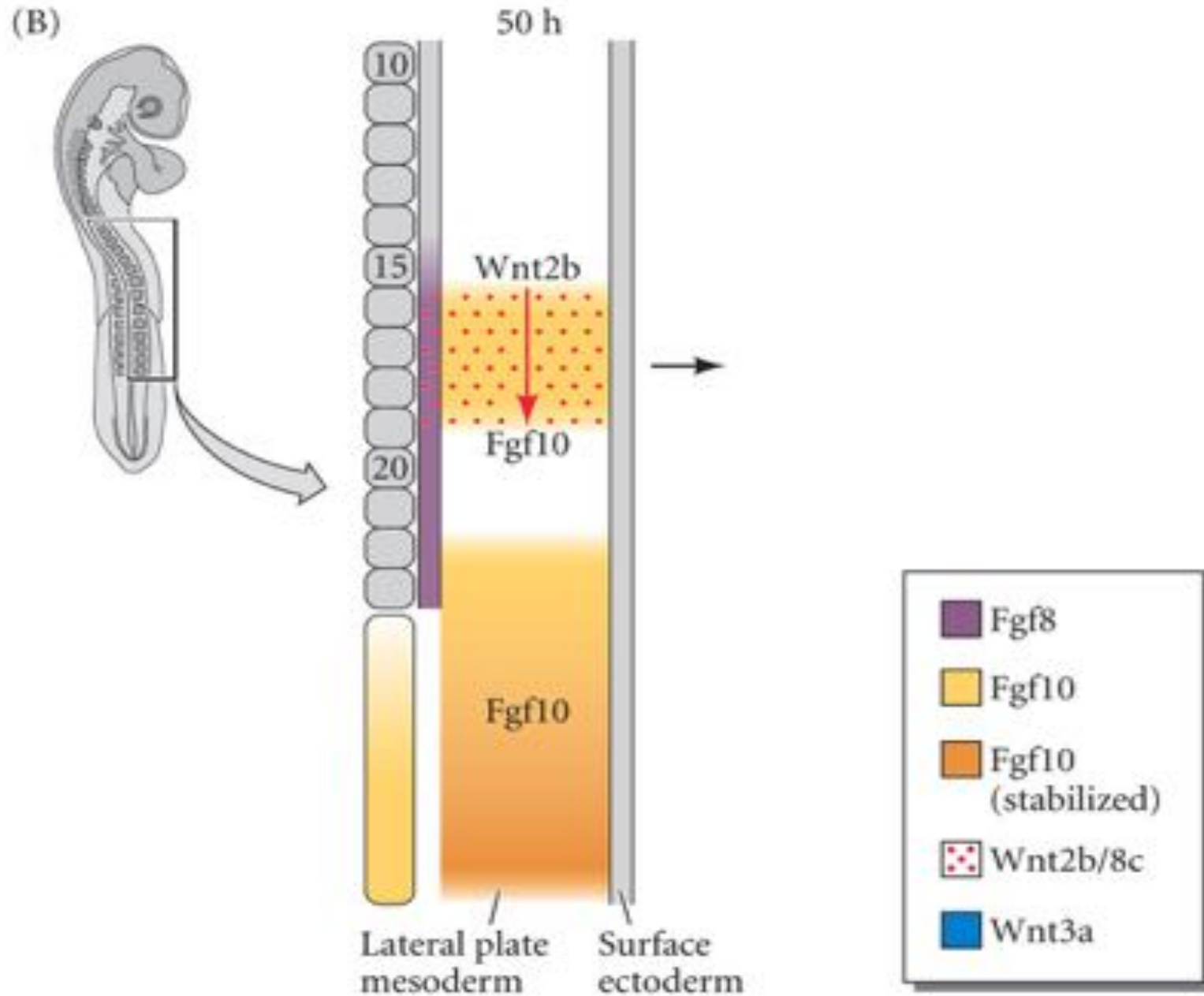
Expressão de Fgf10 e ação sobre os membros em desenvolvimento da galinha



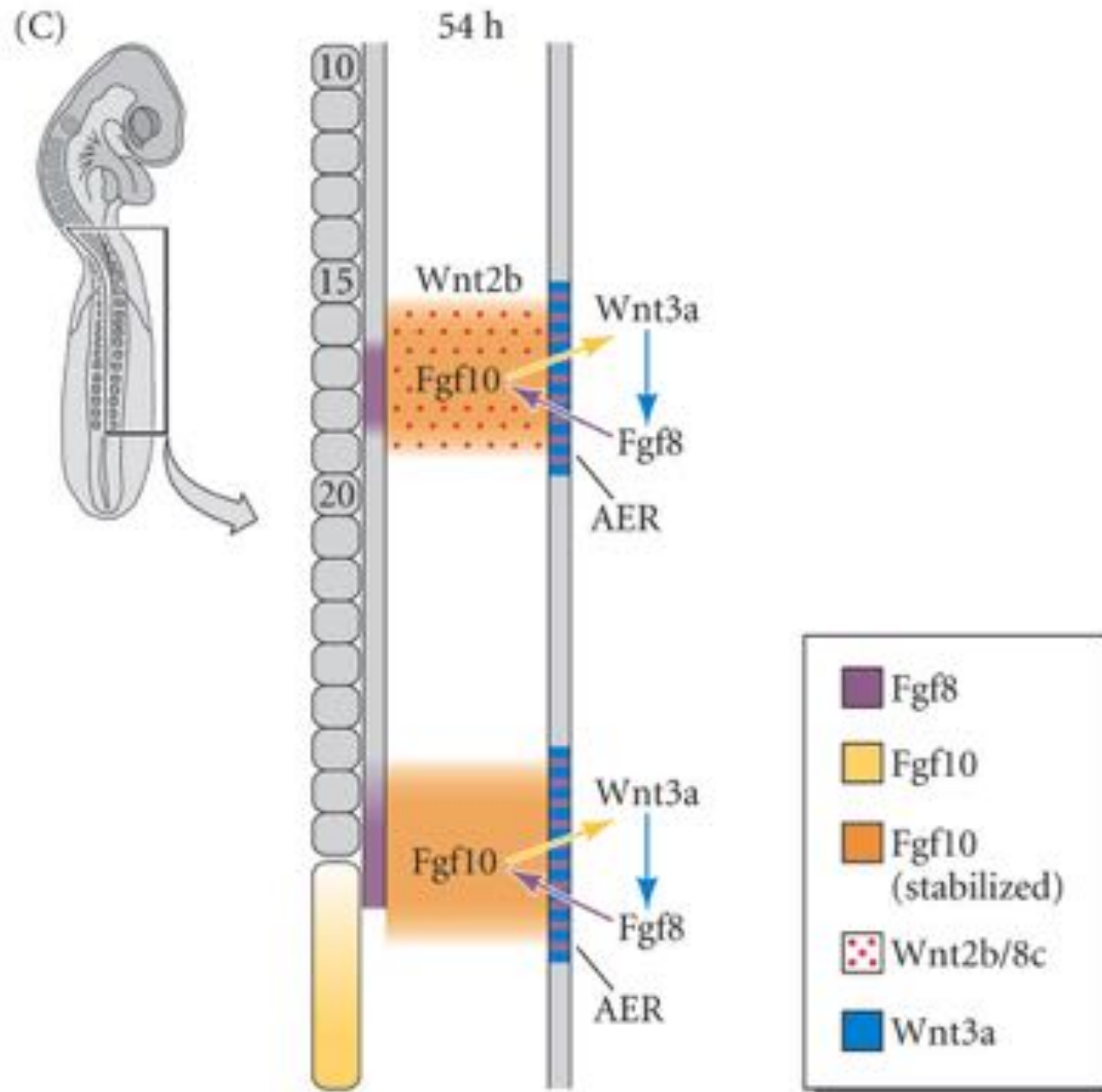
Modelo molecular da iniciação do desenvolvimento do broto de membro na galinha de **48 horas** de incubação (Parte 1)



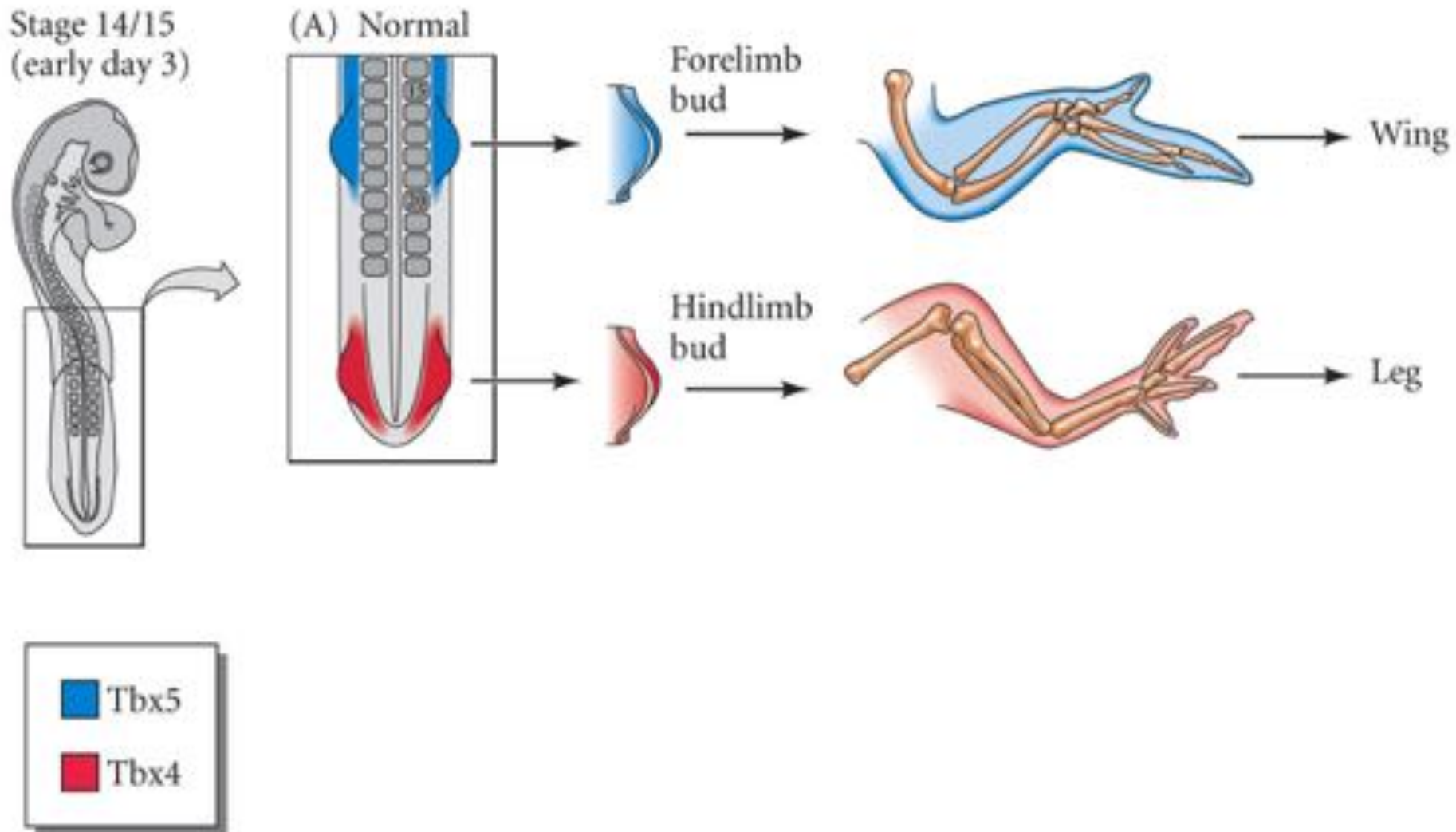
Modelo molecular da iniciação do desenvolvimento do broto de membro na galinha de 50 horas de incubação (Parte 2)



Modelo molecular da iniciação do desenvolvimento do broto de membro na galinha de 54 horas de incubação (Parte 3)

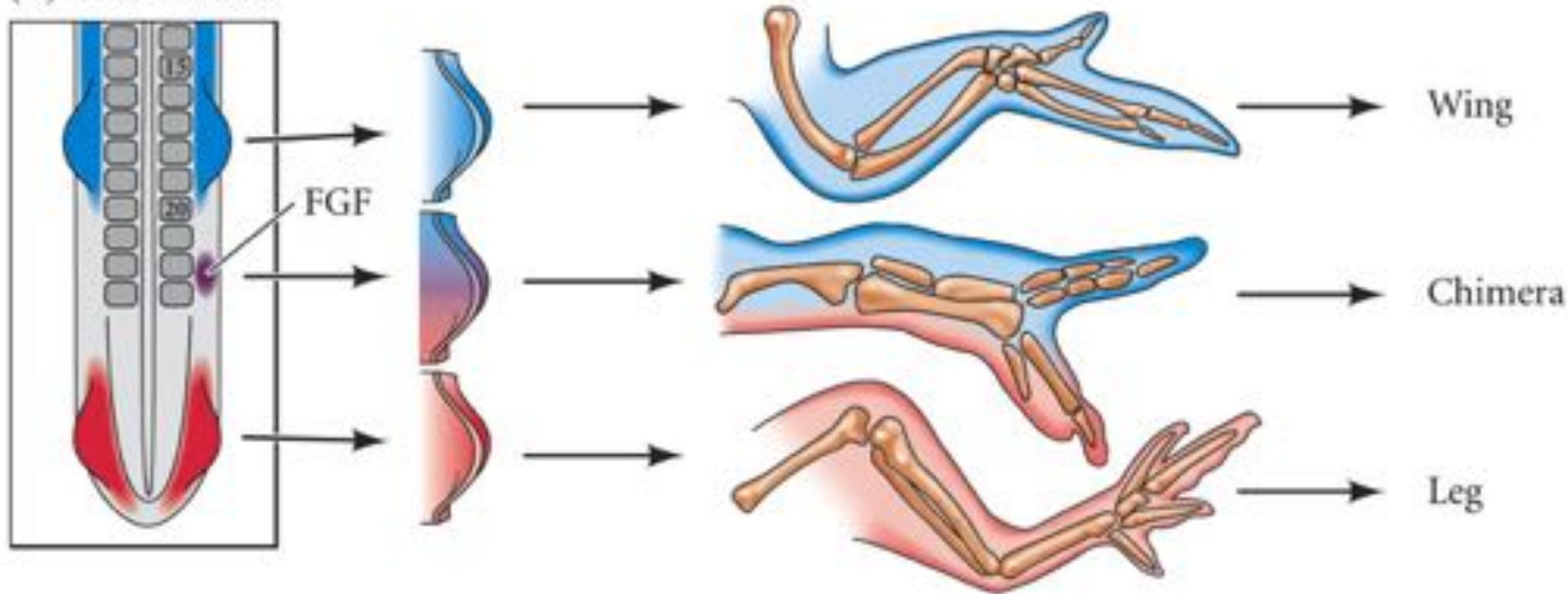


Identidade do membro anterior e posterior: Especificação por Tbx4 and Tbx5 (Parte 1)



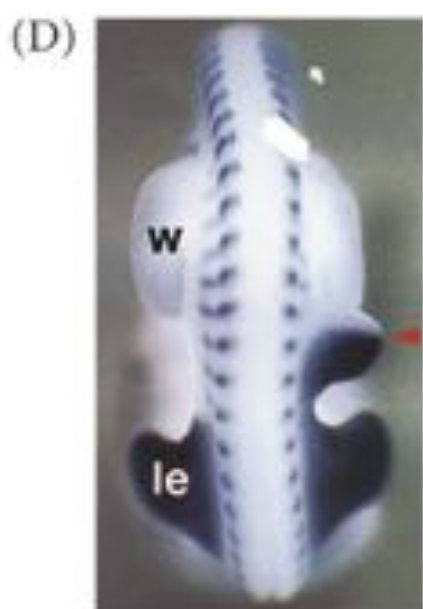
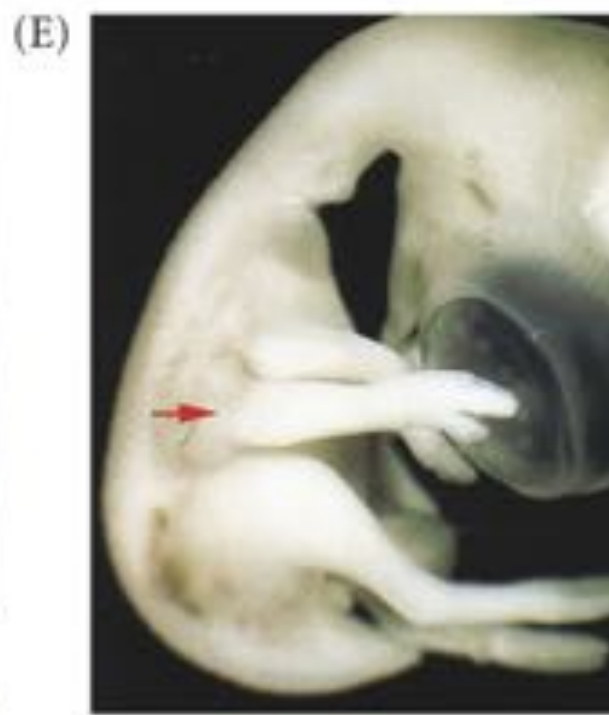
Identidade do membro anterior e posterior: Especificação por Tbx4 and Tbx5 (Parte 2)

(B) FGF induced

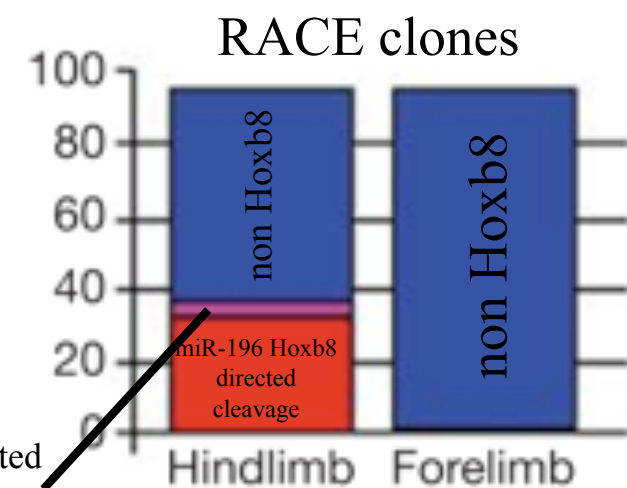
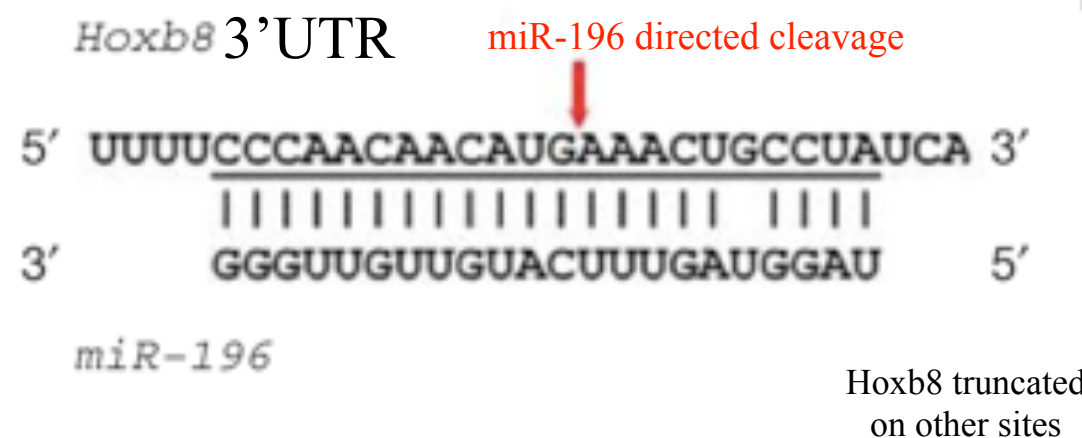
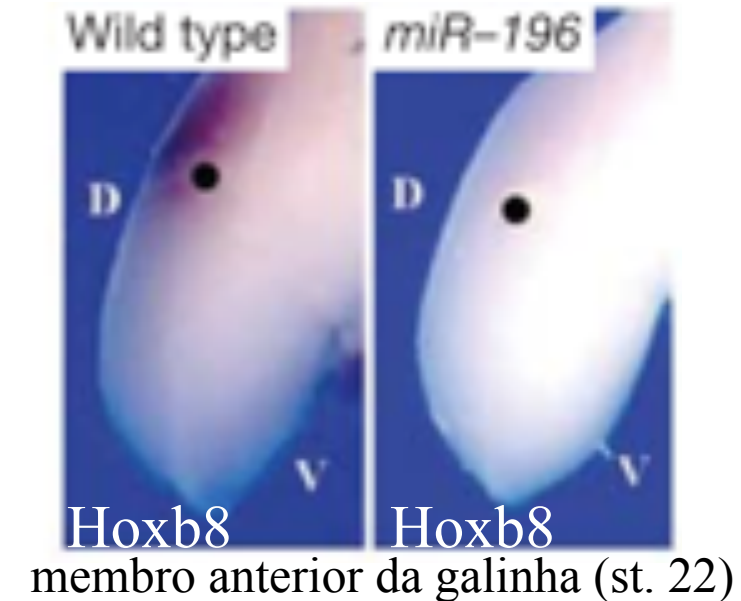
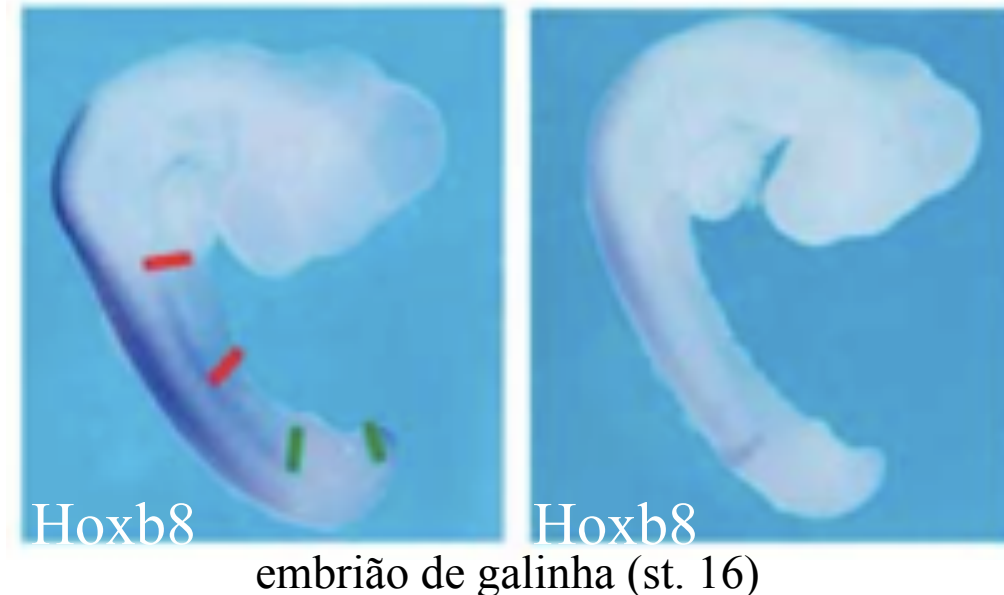


- █ Tbx5
- █ Tbx4

Identidade do membro anterior e posterior: Especificação por Tbx4 and Tbx5 (Parte 3)



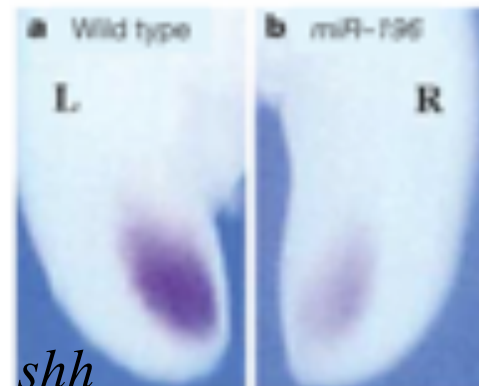
Identidade do membro anterior e posterior: *miR-196* regula Hoxb8 durante o desenvolvimento das extremidades



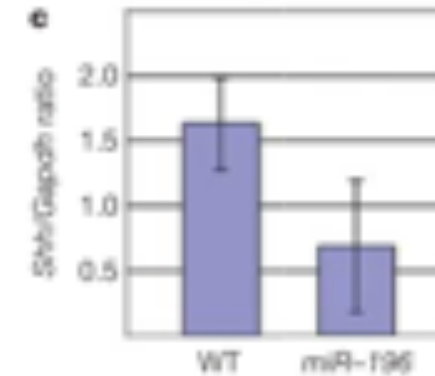
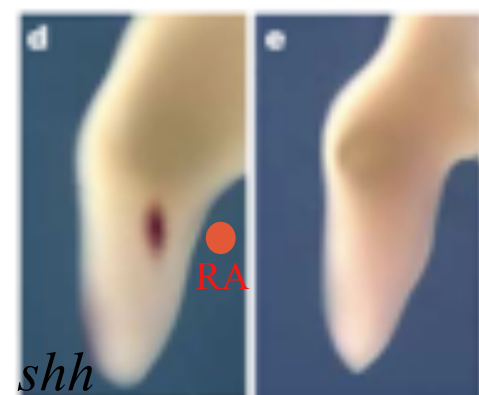
Hornstein et al. 2005

Identidade do membro anterior e posterior: *miR-196* regula *Hoxb8* durante o desenvolvimento das extremidades

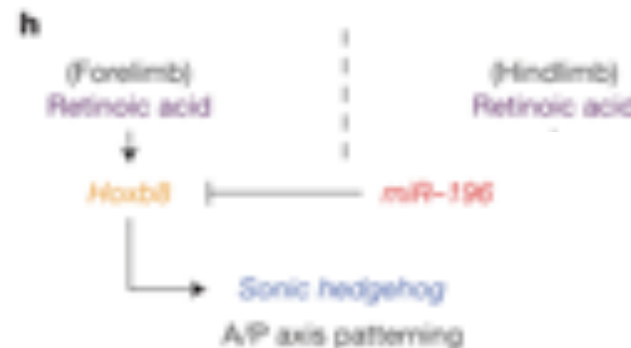
membro anterior



membro anterior



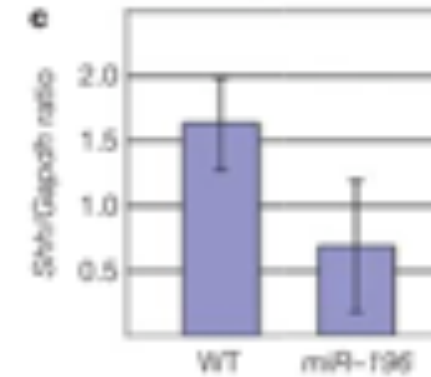
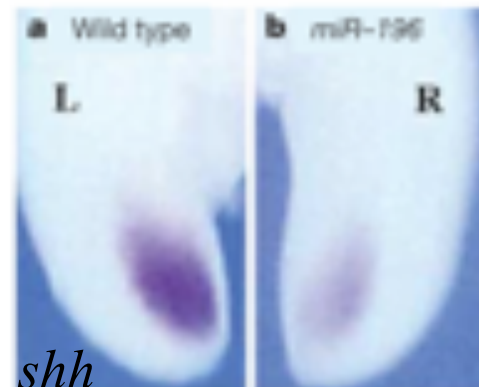
Modelo de regulación:



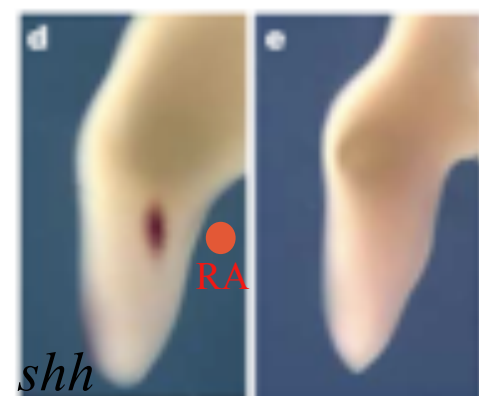
Hornstein et al. 2005

Identidade do membro anterior e posterior: *miR-196* regula *Hoxb8* durante o desenvolvimento das extremidades

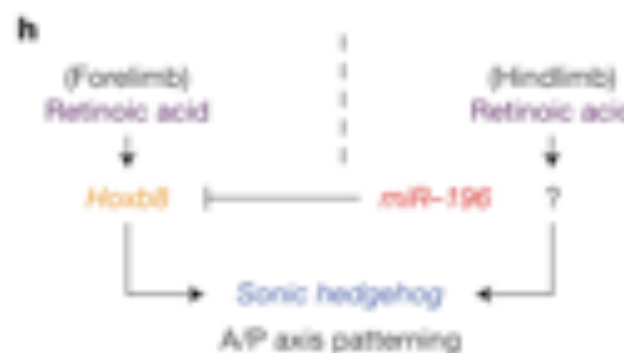
membro anterior



membro anterior

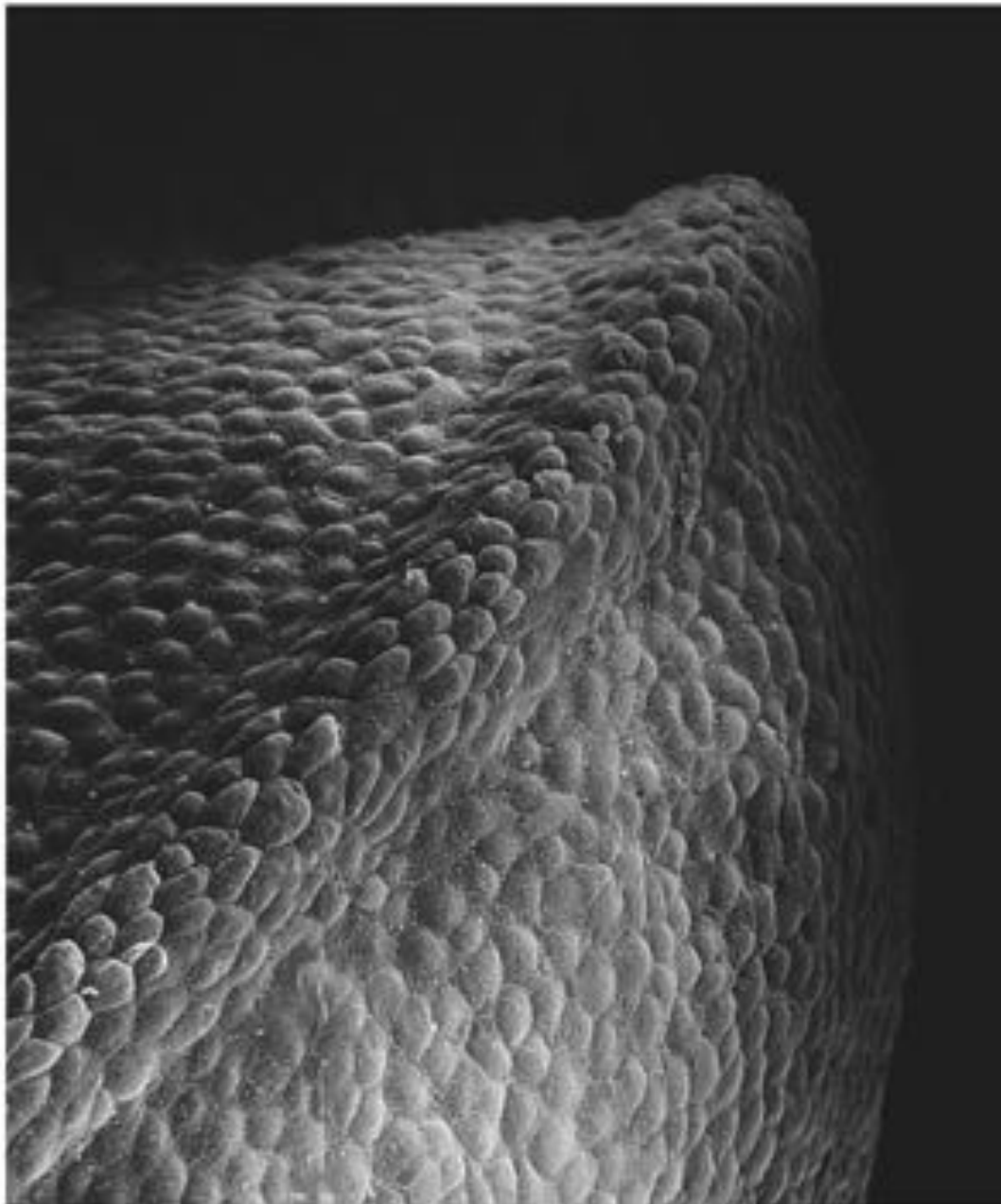


membro posterior

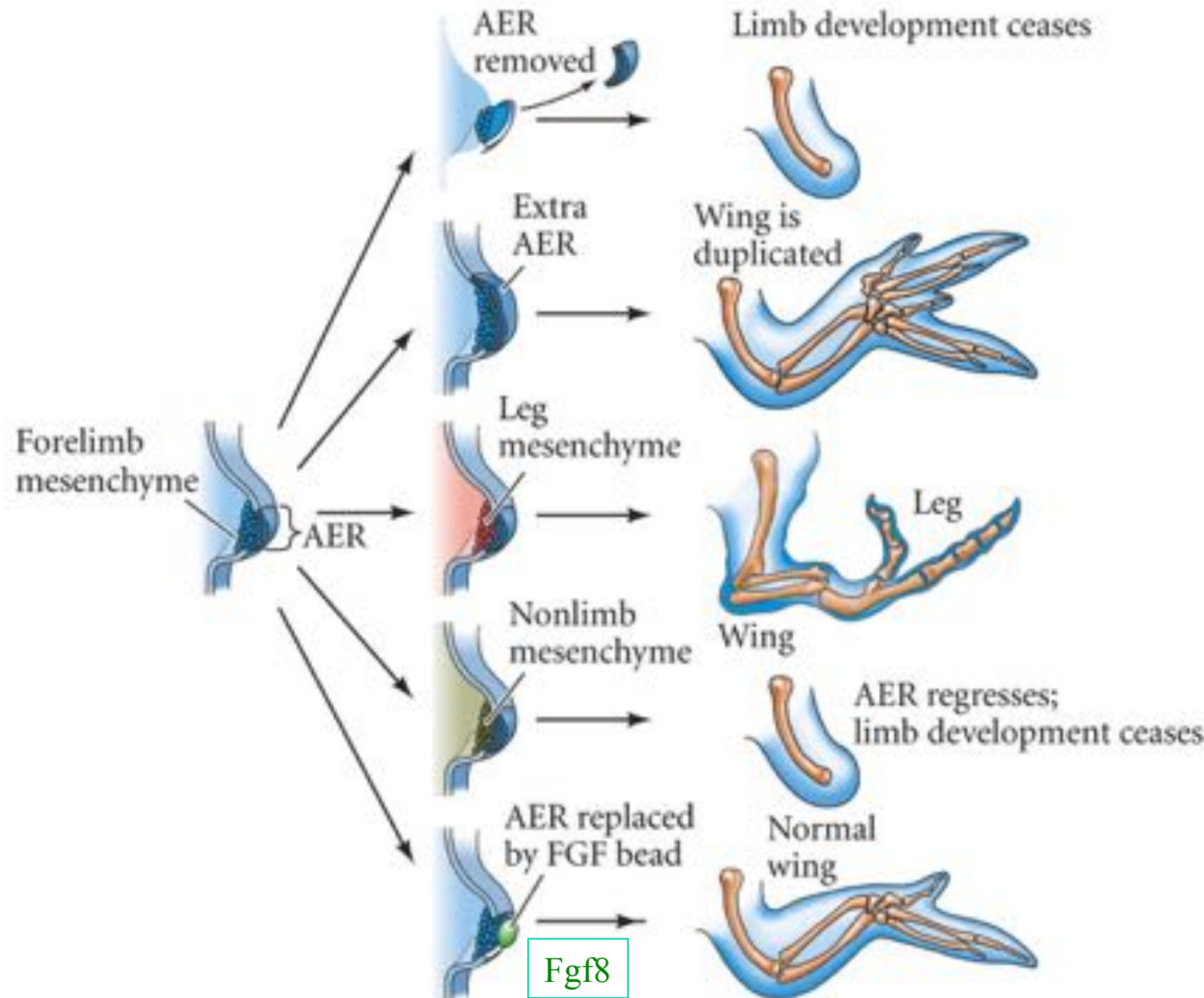


Modelo de regulación:

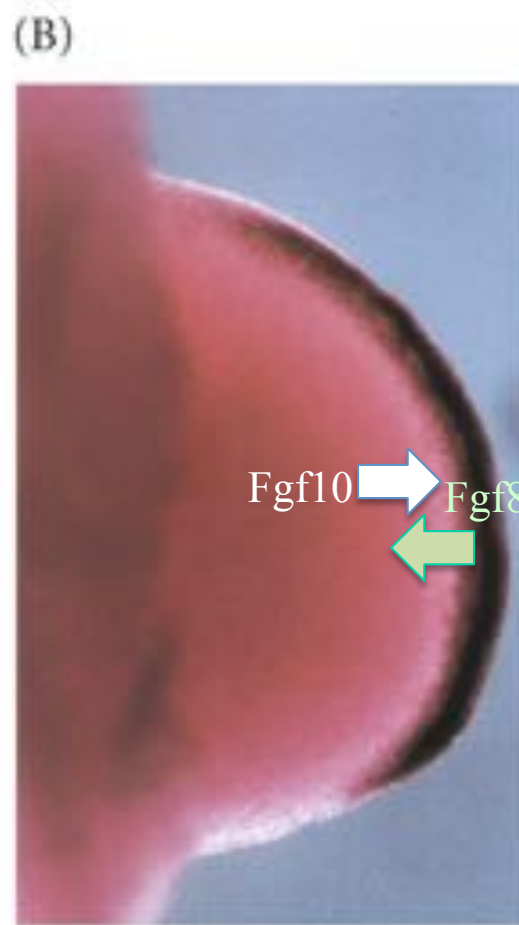
Broto cedo do membro anterior da galinha com o cume ectodérmico apical ou AER (em inglês)



Resumo: experimentos demonstrando as interações entre o AER e o mesênquima subjacente

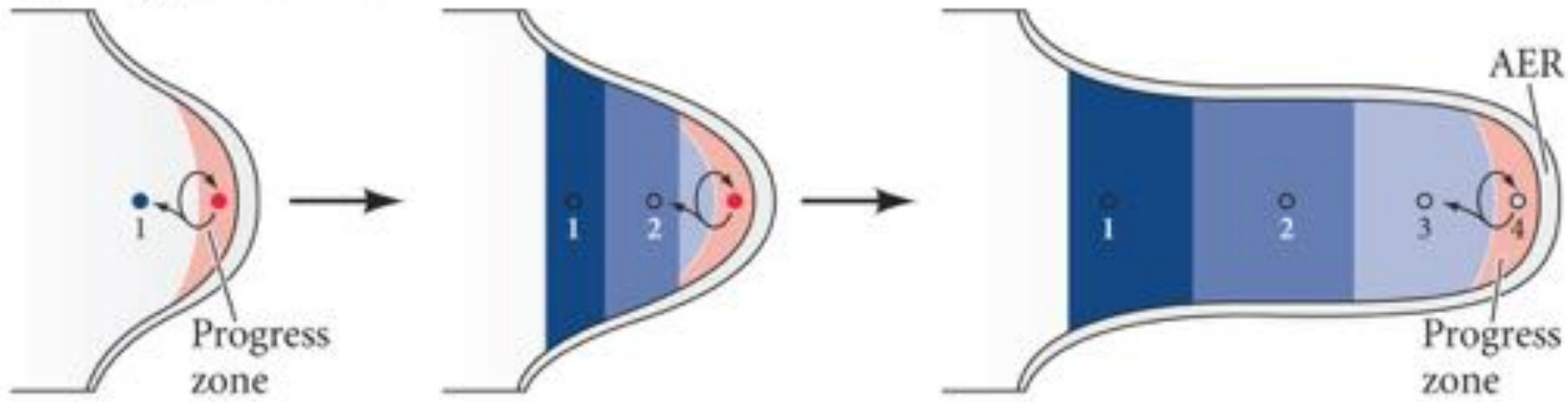


Fgf8 in the apical ectodermal ridge

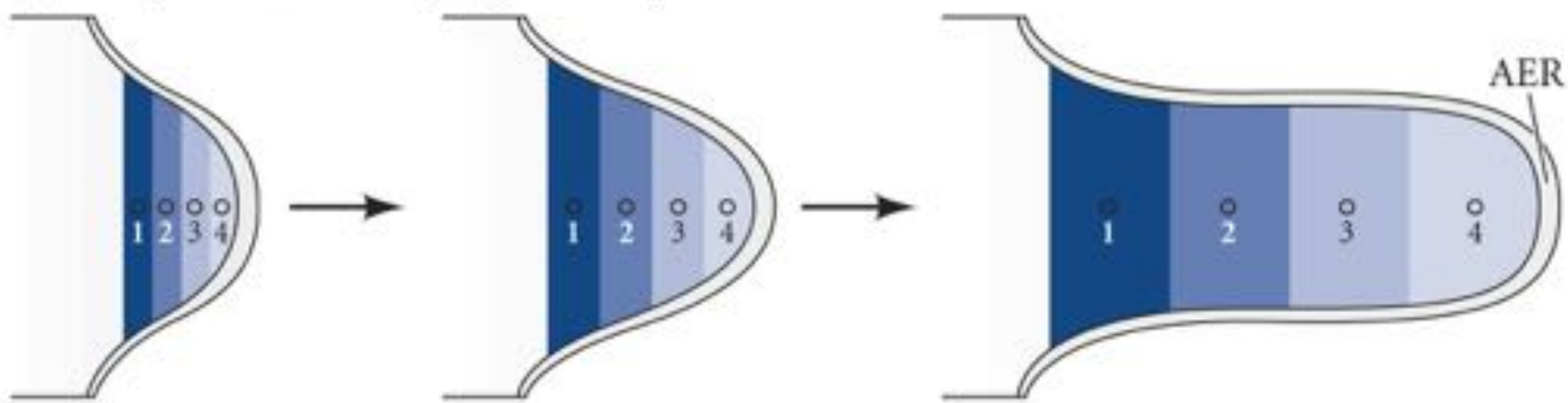


Two models for the mesodermal specification of the proximal-distal axis of the limb

(A) Progress zone model

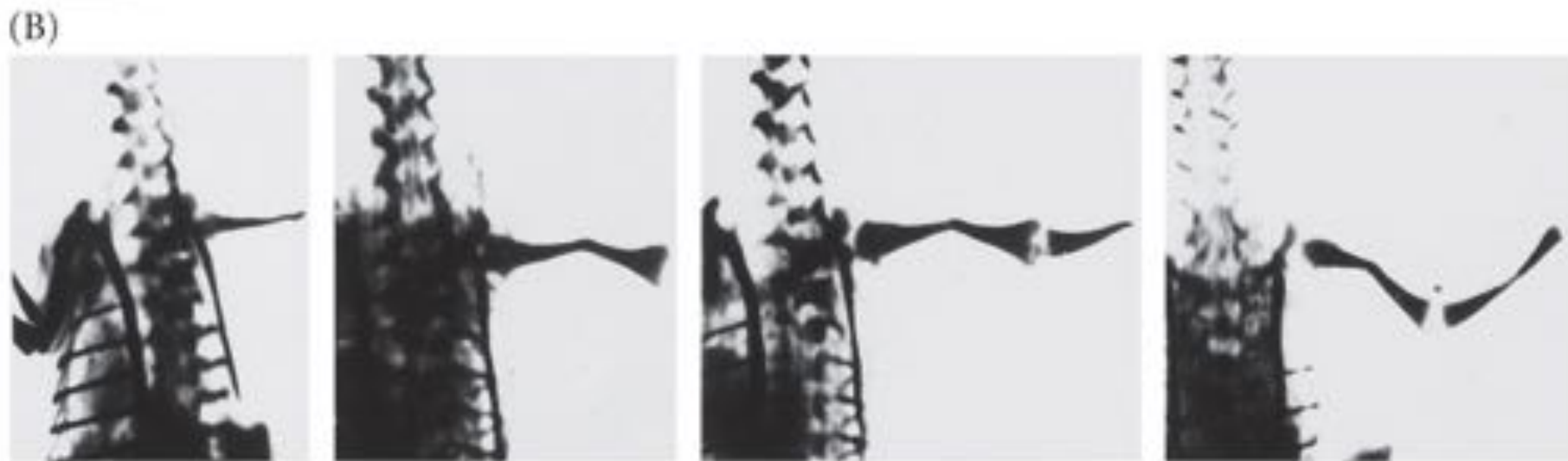


(B) Early allocation and progenitor expansion model



What experiments would you do to test these two models?

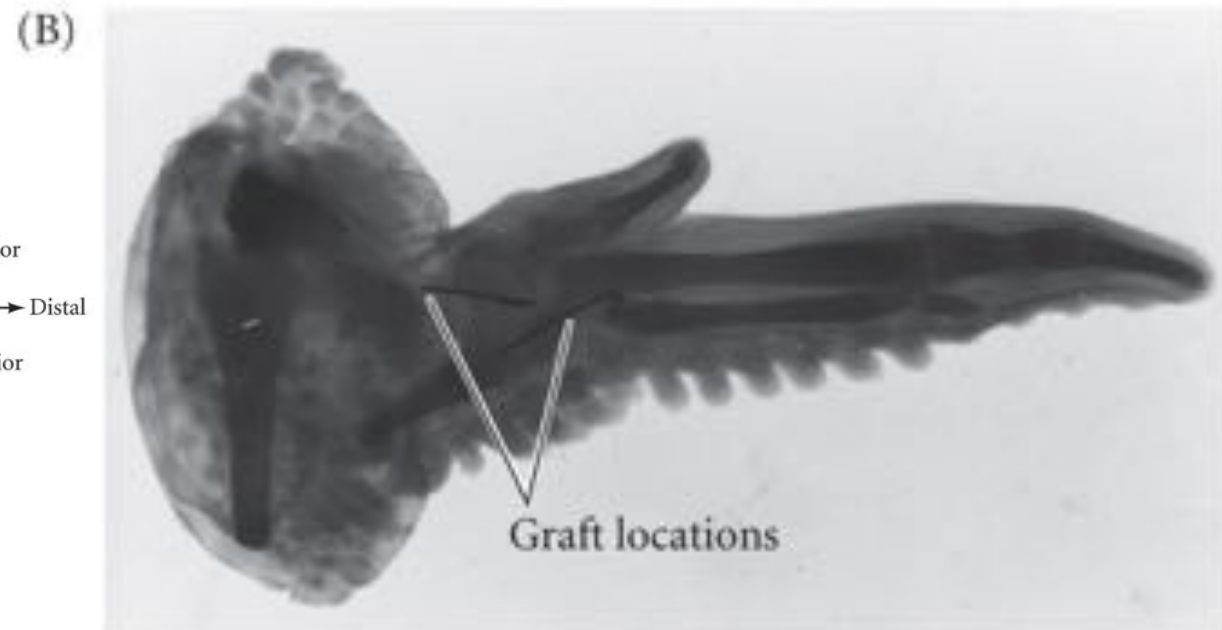
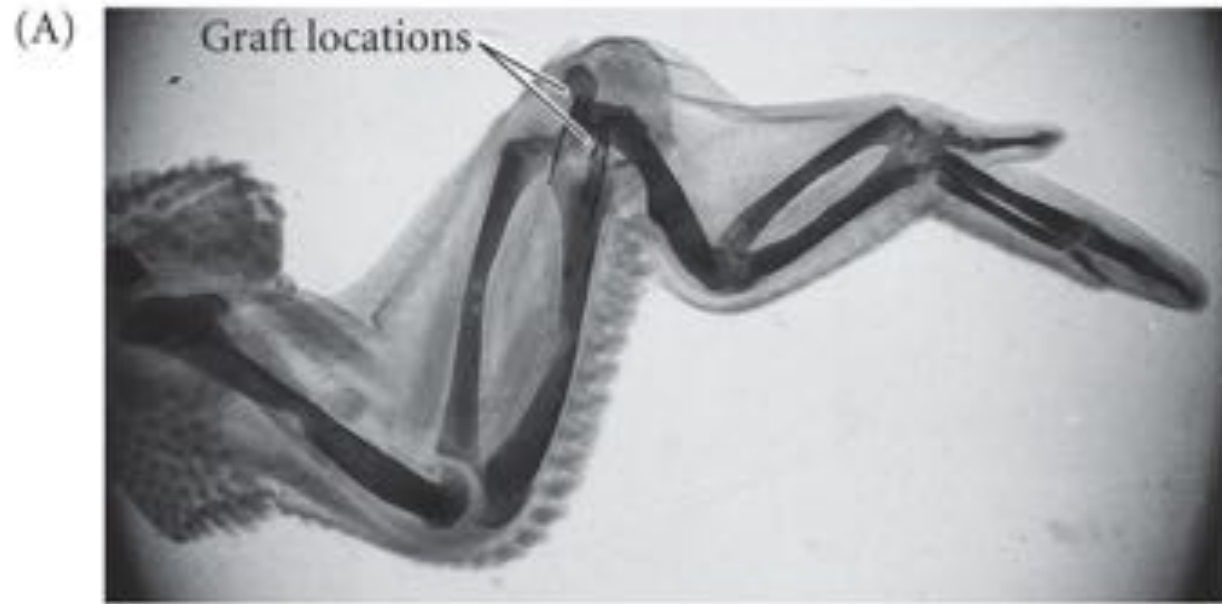
The AER is necessary for wing development



AER Vade mecum

DEVELOPMENTAL BIOLOGY, Eighth Edition, Figure 16.11 © 2006 Sinauer Associates, Inc.

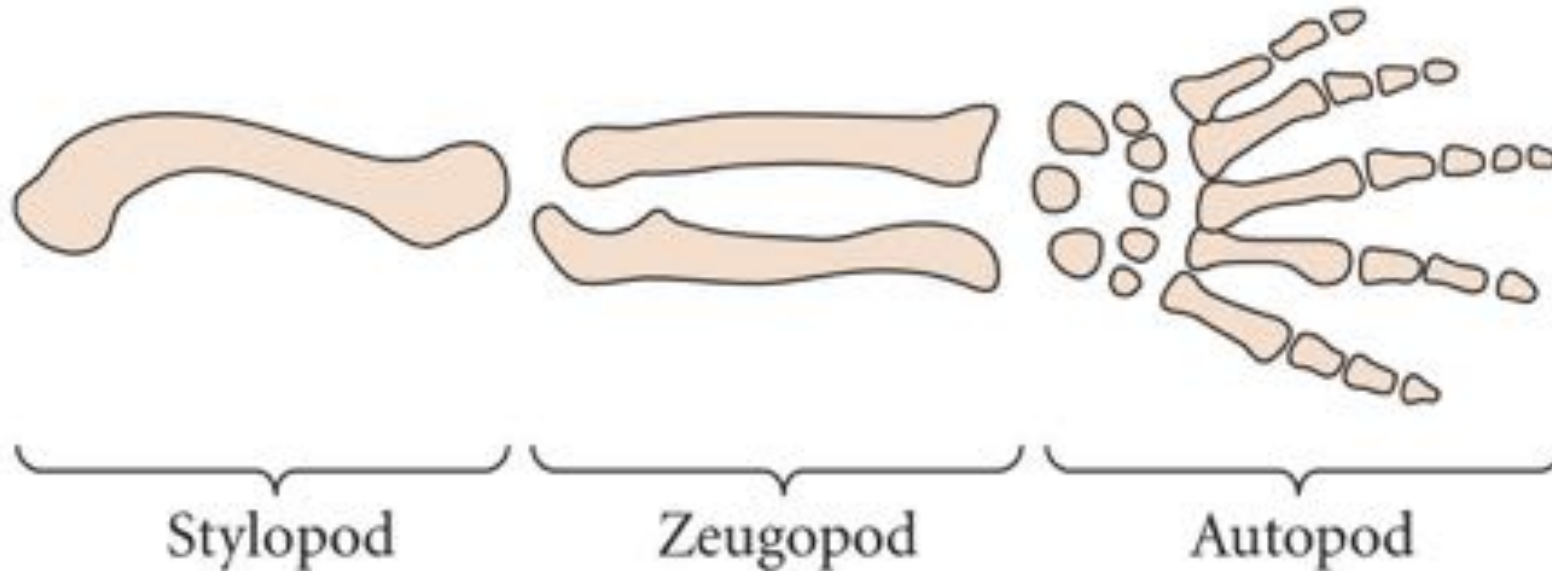
Control of proximal-distal specification by the progress zone mesenchyme



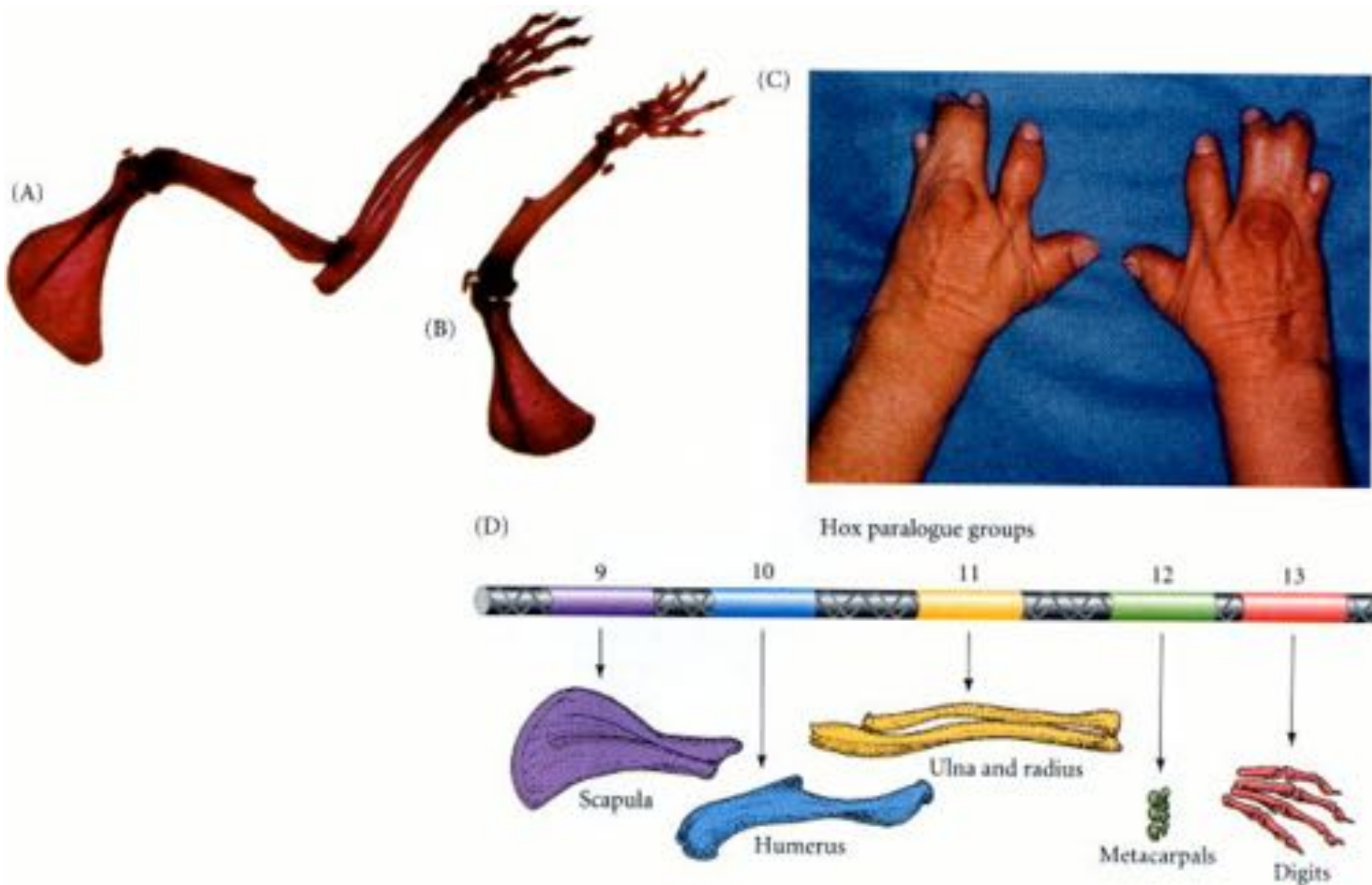
(A)

Forelimb

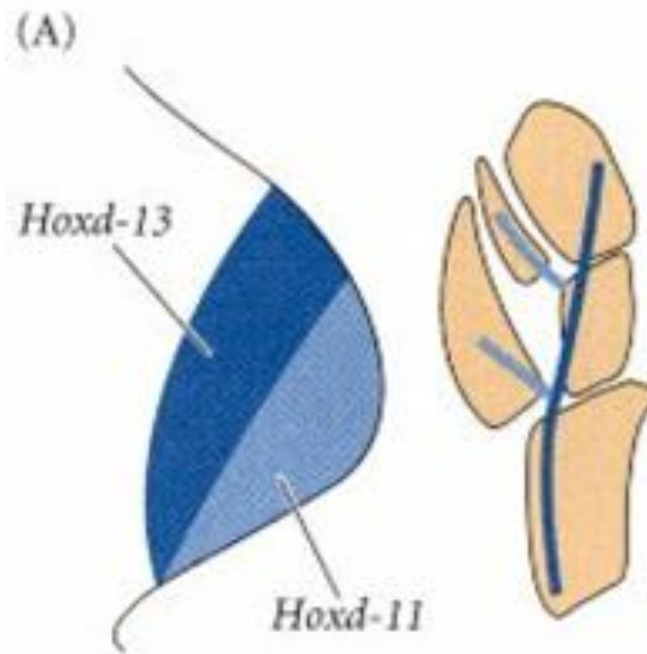
Hox parologue group



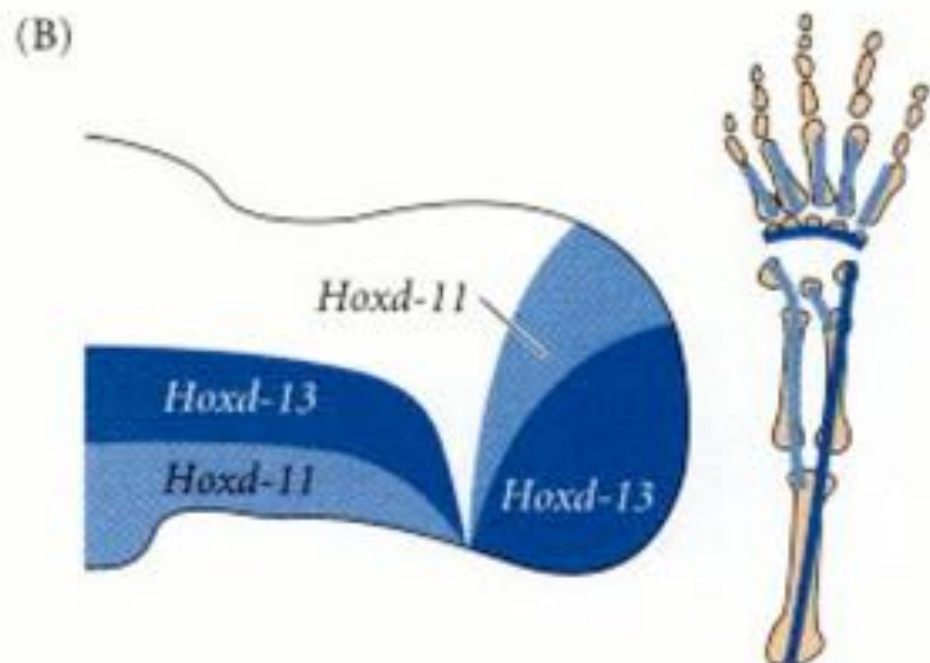
PD patterning: Deletion of limb bone elements by the deletion of paralogous Hox genes (Part 1)

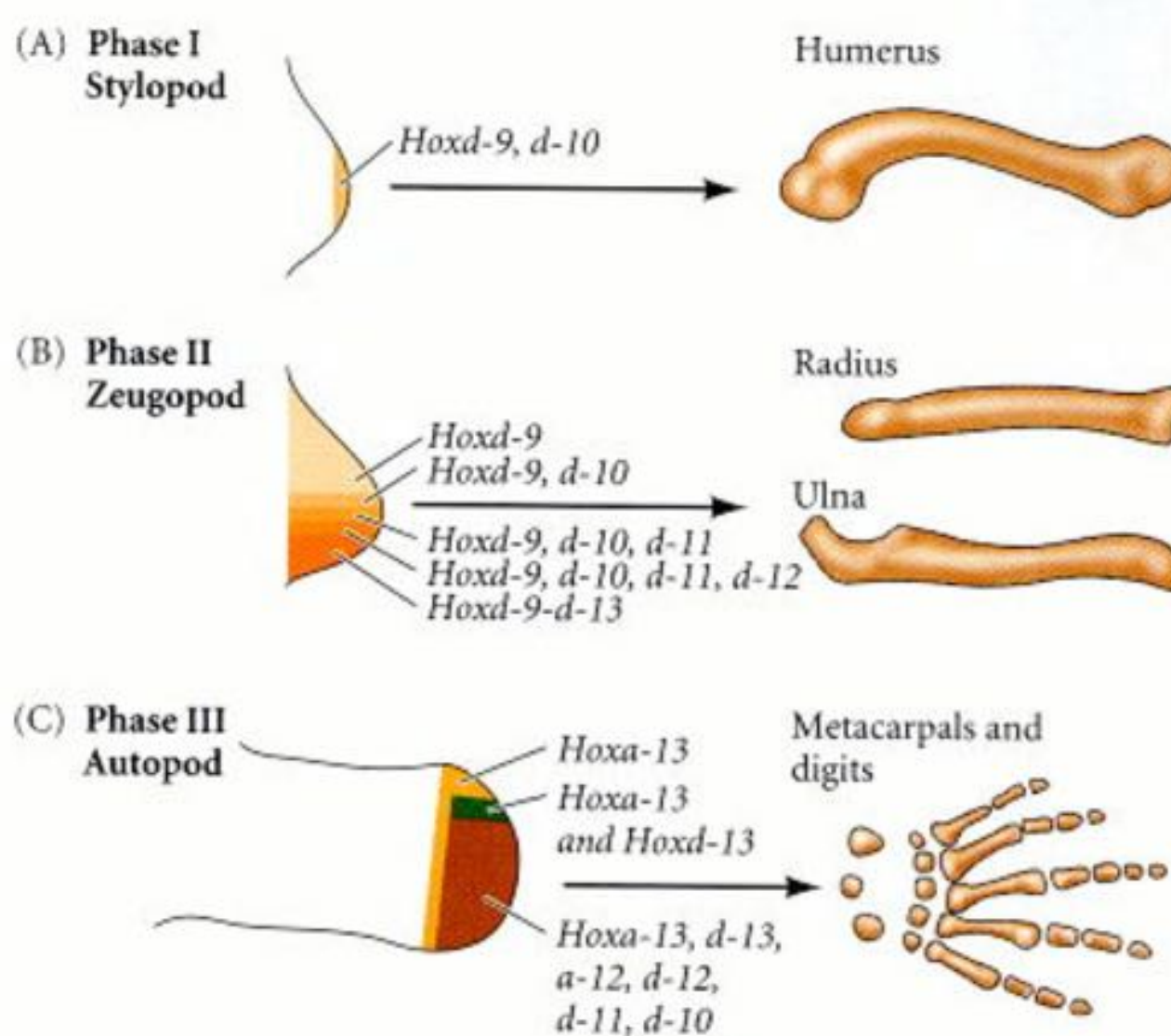


Peixe:



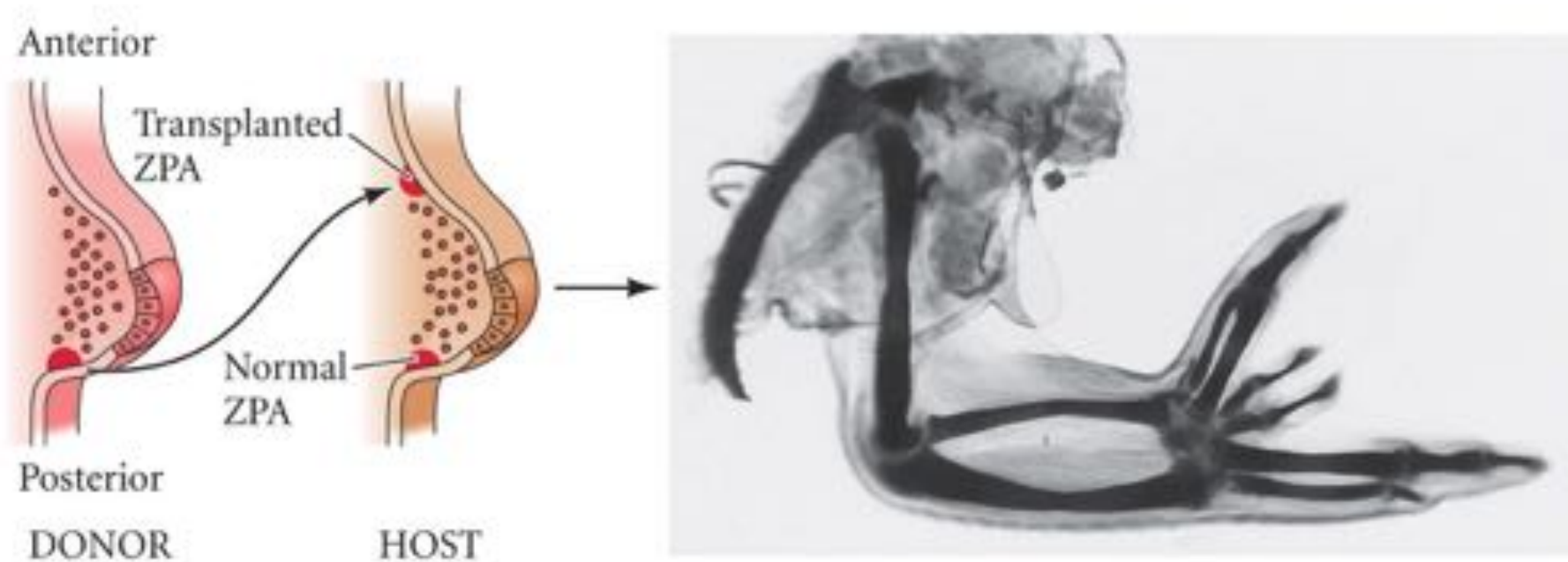
Tetrapodo:





AP patterning: When a ZPA is grafted to anterior limb bud mesoderm, duplicated digits emerge as a mirror image of the normal digits

Discovering the ZPA: Vade mecum



ZPA = zone of polarizing activity

AP patterning: Sonic hedgehog protein is expressed in the ZPA (Part 1)

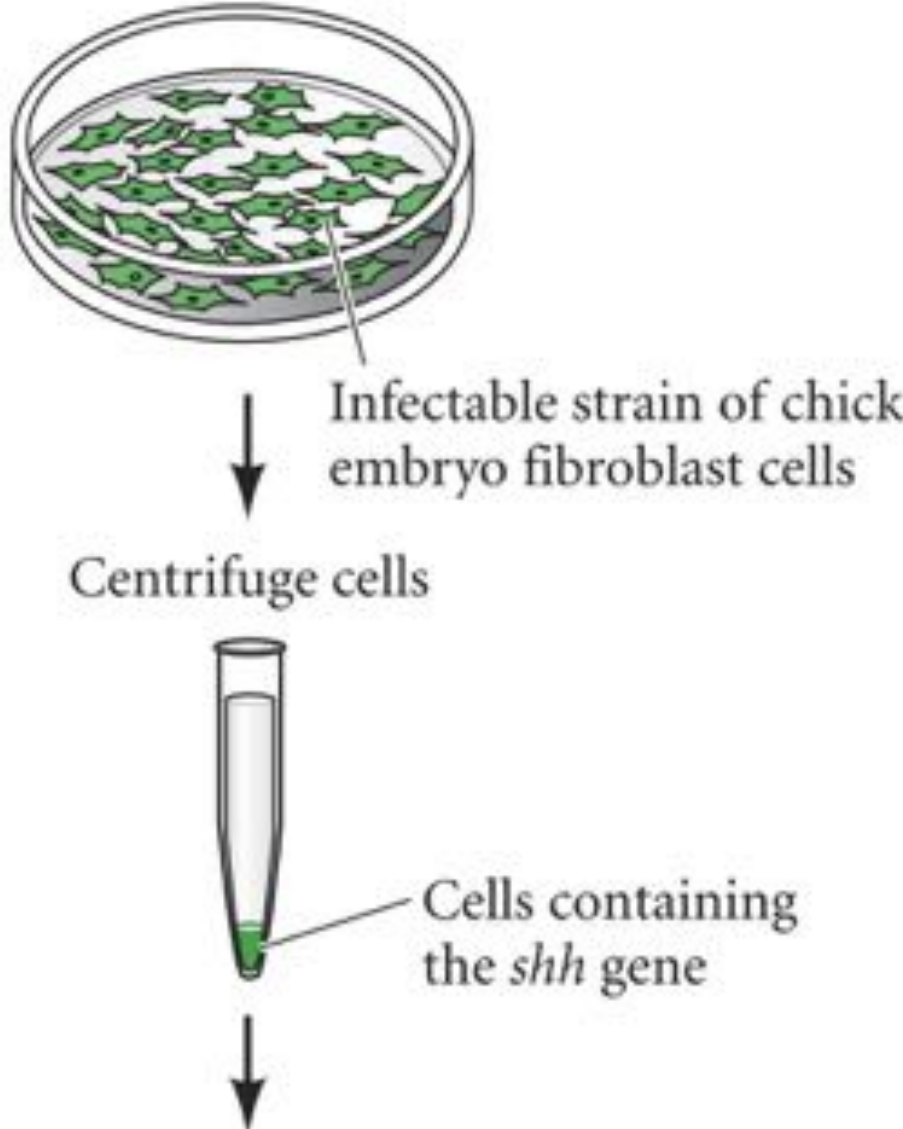
(A)



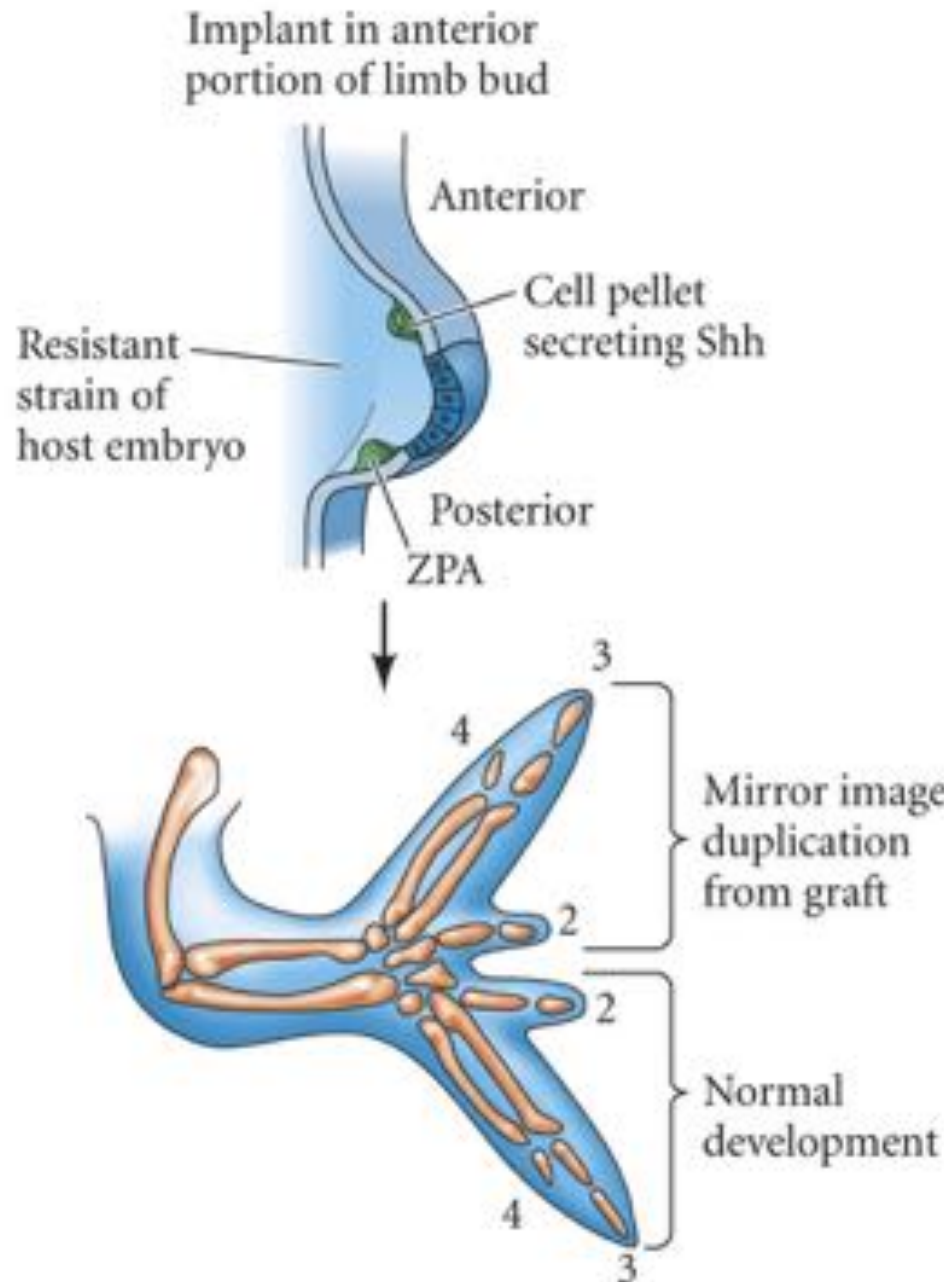
Is it sufficient?

AP patterning: Sonic hedgehog protein is expressed in the ZPA (Part 2)

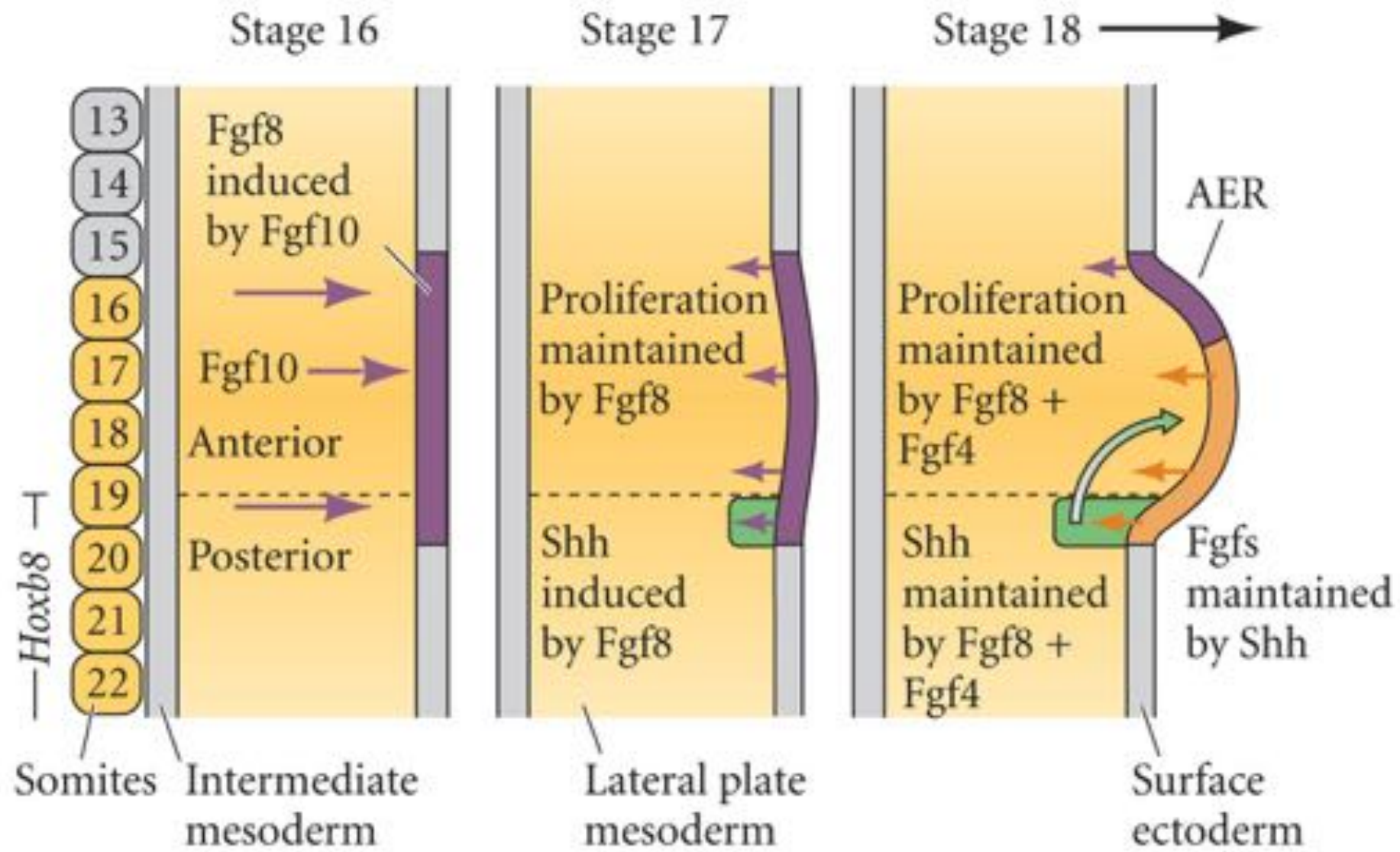
(B) Transfect *shh*-expressing virus
and allow viral spread



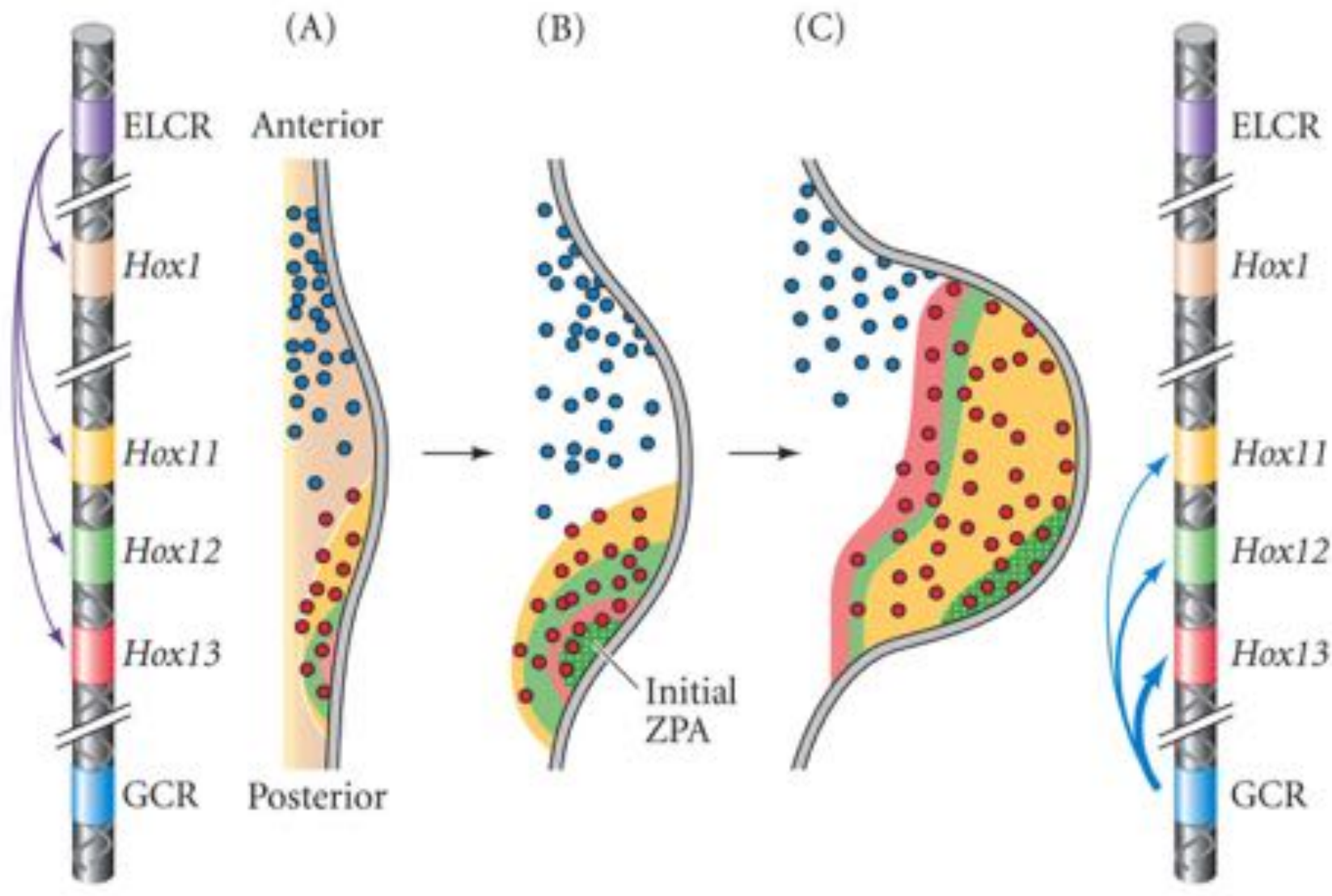
AP patterning: Sonic hedgehog protein is expressed in the ZPA (Part 3)



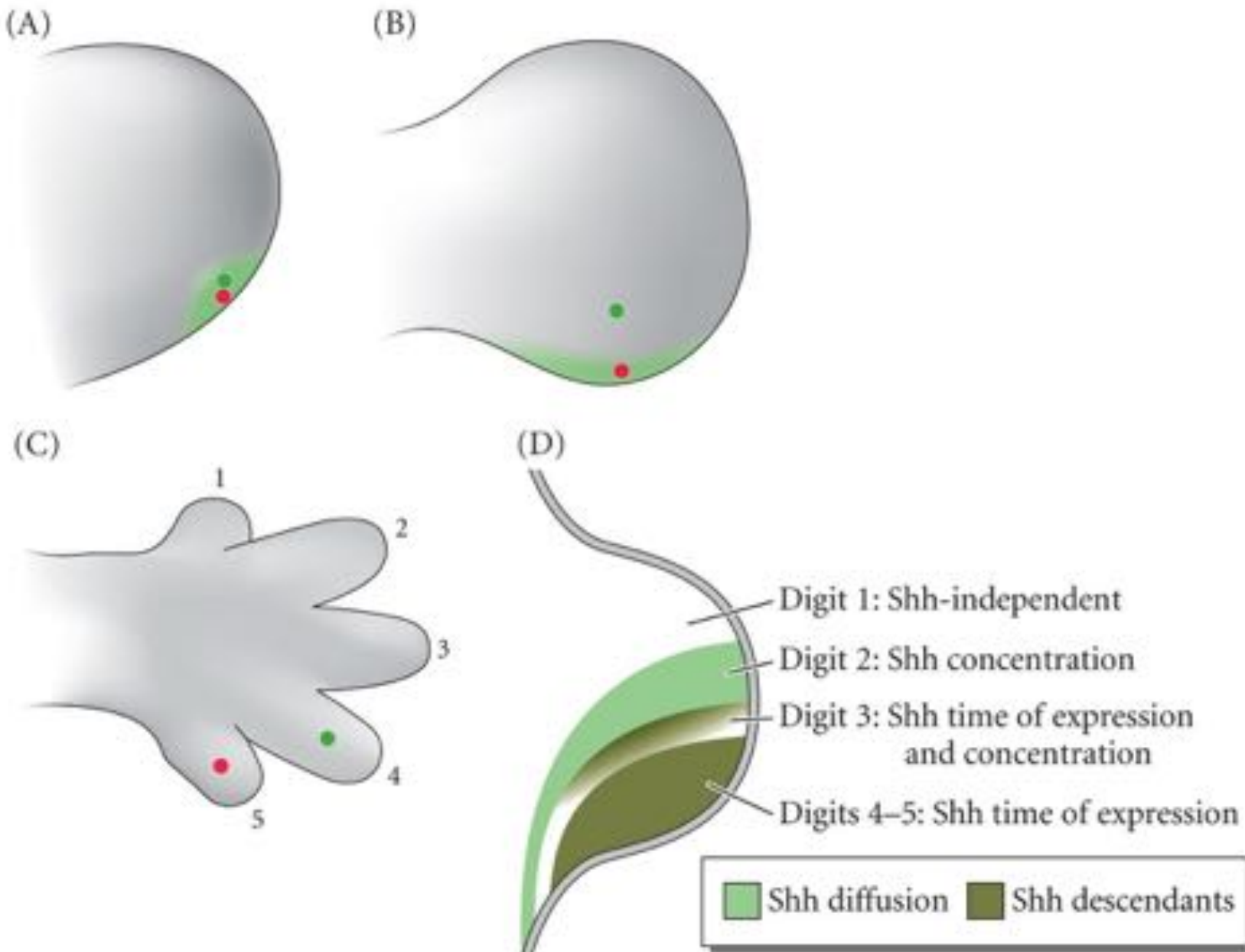
Patterning and growth of the bud: Feedback between the AER and the ZPA in the forelimb bud



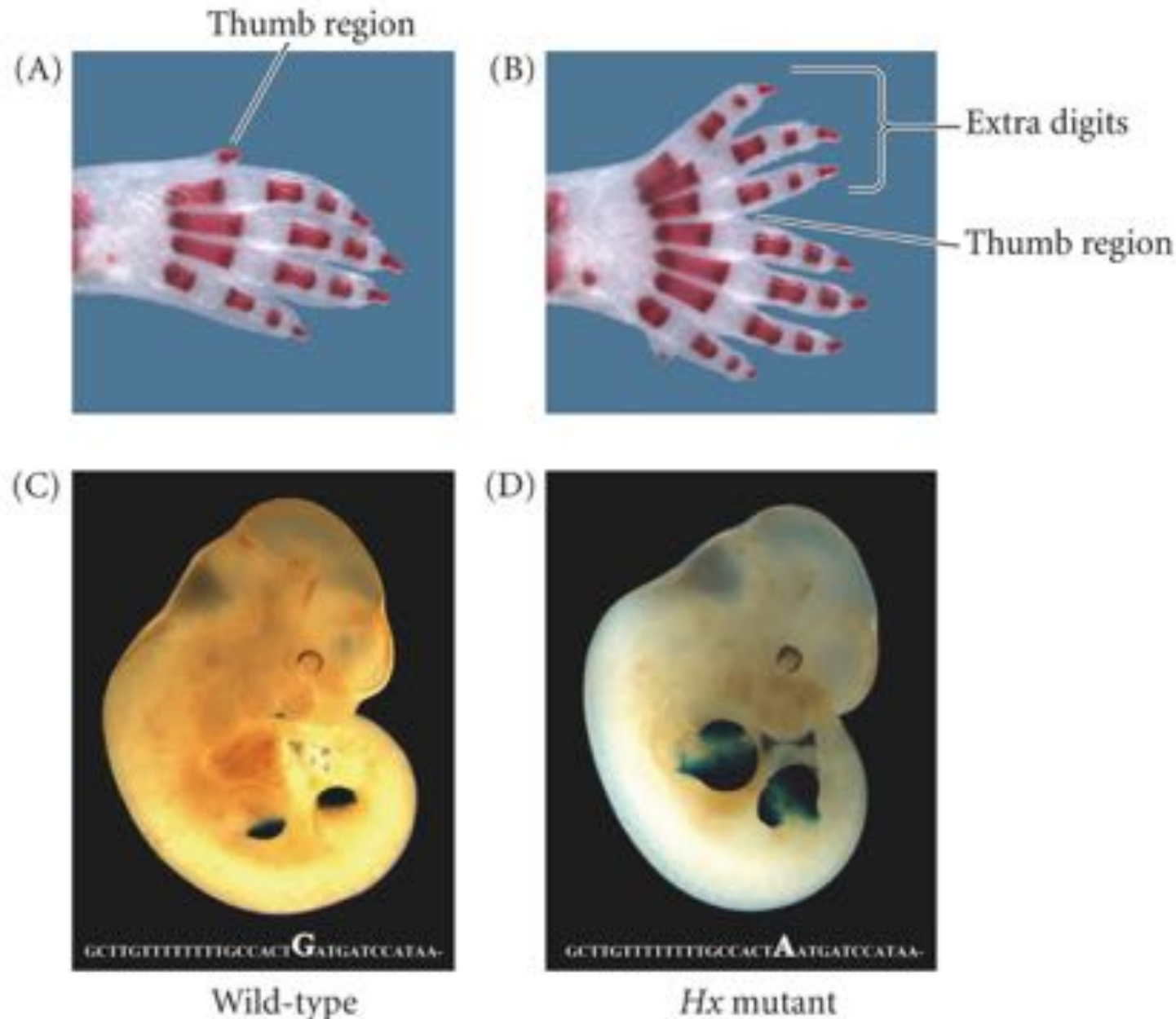
AP patterning: Hox gene expression changes during the formation of the tetrapod limb



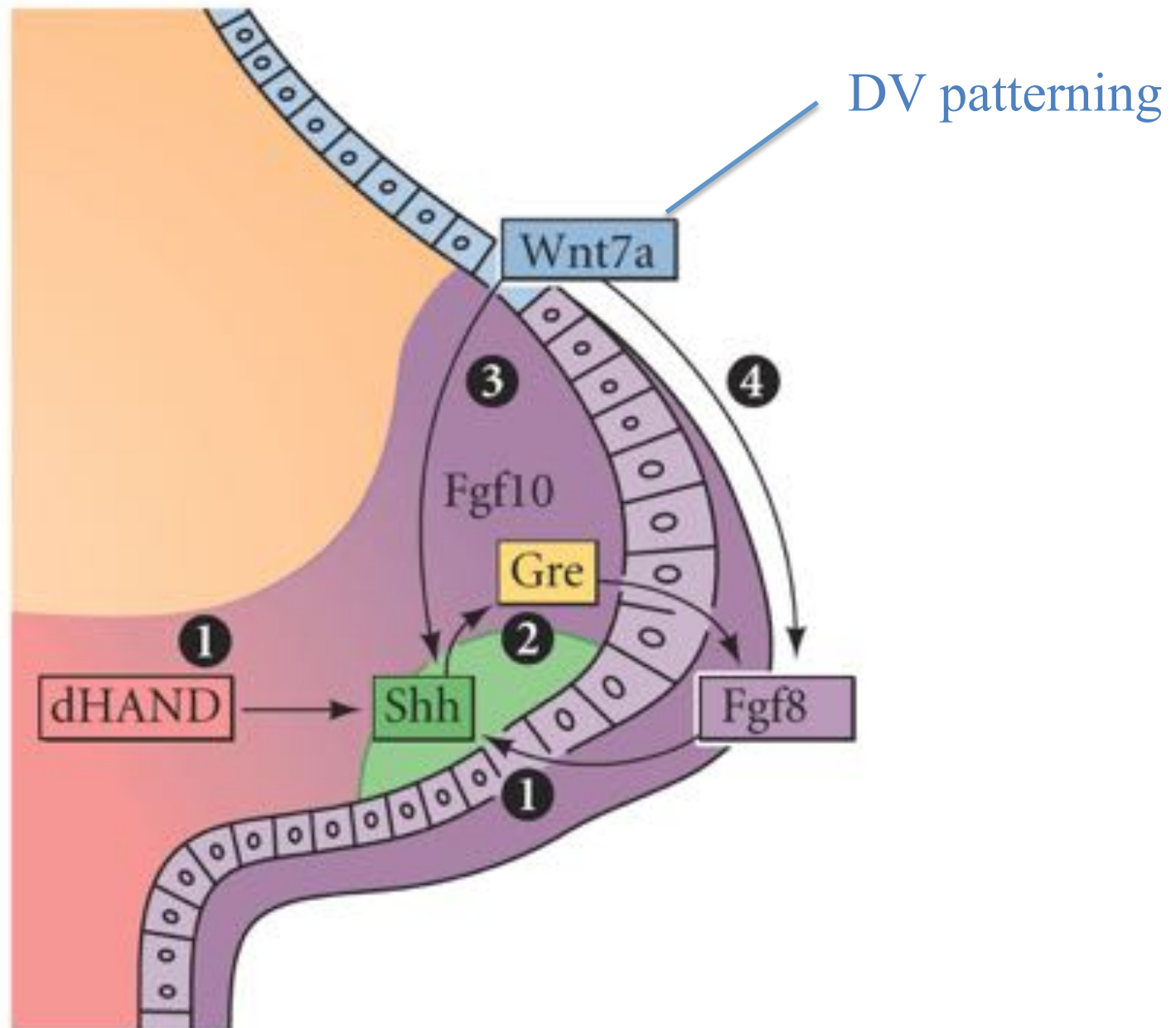
AP patterning and digit identity: The Shh-secreting cells form digits 4 and 5, and contribute to the specification of digits 2 and 3 in the mouse limb



AP patterning: Ectopic expression of mouse *sonic hedgehog* by a mutation in *Hx* in the anterior limb causes extra digit formation



Patterning and growth of the bud: Some of the molecular interactions by which limb bud formation and growth are initiated and maintained

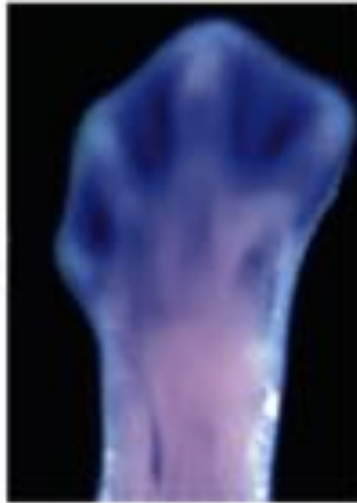


DV Patterning: Vade mecum

Apoptosis in late digit formation: Inhibition of cell death by inhibiting BMPs by Gremlin in ducks

Patterning through cell death: Vade mecum

Chick
hindlimb



Duck
hindlimb



BMP

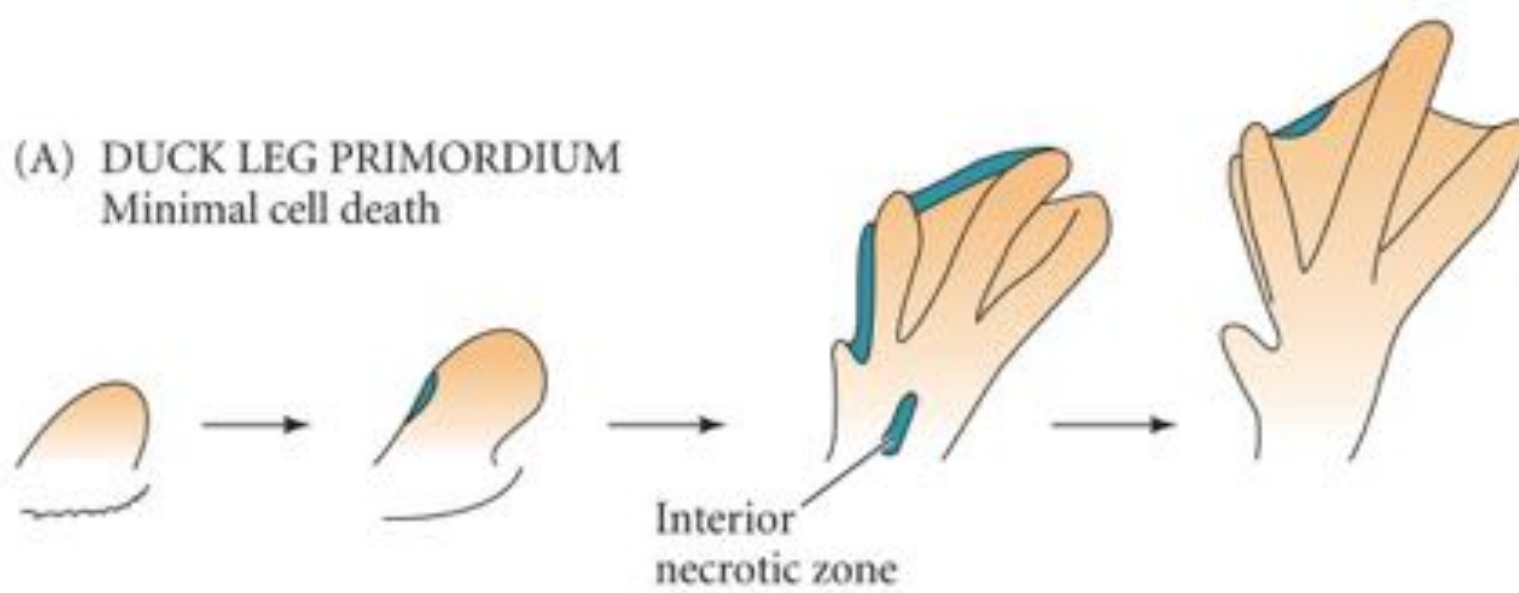
Gremlin

Apoptosis

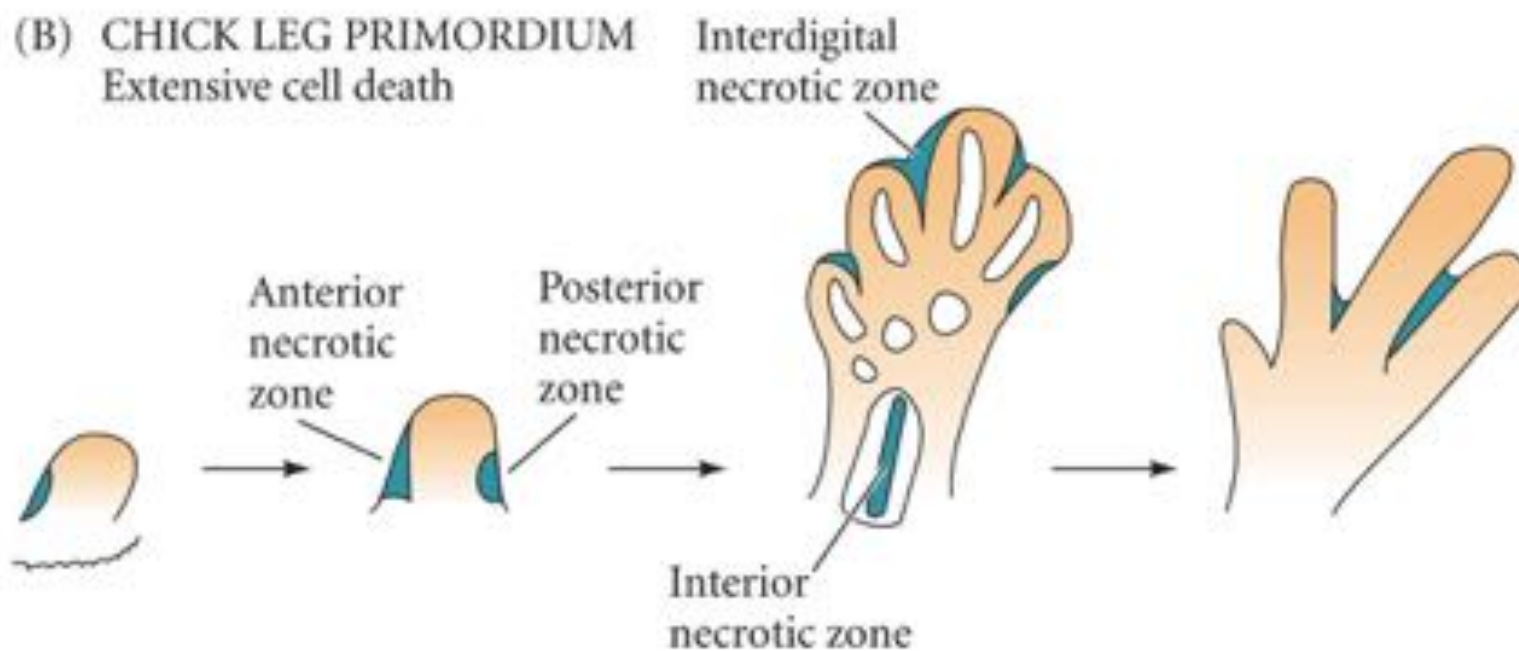
Newborn

Late digit formation: Patterns of cell death in leg primordia of (A) duck and (B) chick embryos

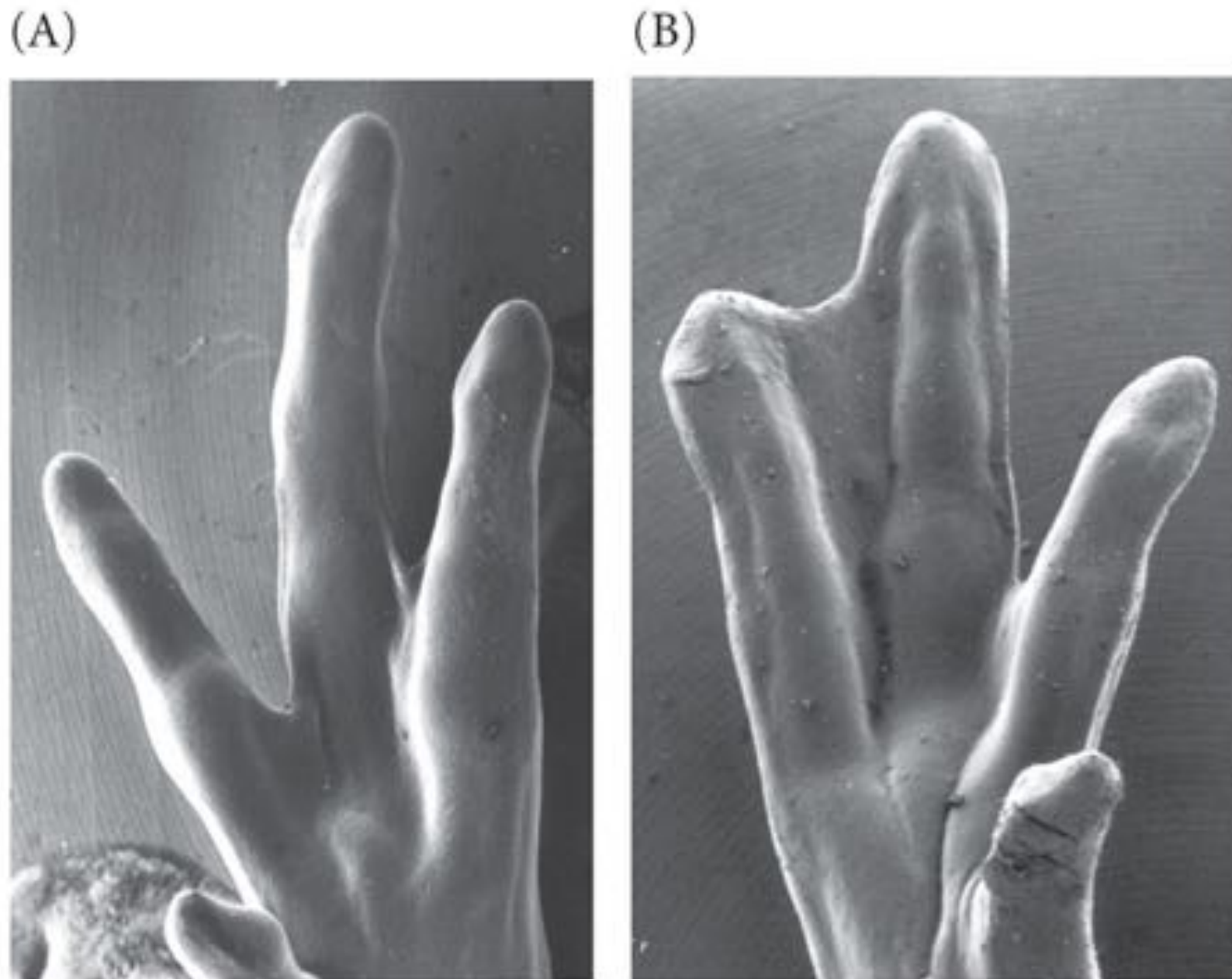
(A) DUCK LEG PRIMORDIUM
Minimal cell death



(B) CHICK LEG PRIMORDIUM
Extensive cell death



Apoptosis in late digit formation: Inhibition of cell death by inhibiting BMPs in chick leg



J  o  o Botelho (Brazilian researcher) et al. at the Vargas Lab (Universidad de Chile)

<https://www.sciencedaily.com/releases/2016/03/160307153051.htm>

